



OFICINA ESPAÑOLA DE PATENTES Y MARCAS

ESPAÑA



11 Número de publicación: 2 341 708

51 Int. Cl.:

C07K 16/28 (2006.01)
C12N 15/13 (2006.01)
C12N 15/85 (2006.01)
C12N 5/10 (2006.01)
A61K 39/395 (2006.01)
A61R 31/7088 (2006.01)
A61P 35/00 (2006.01)

(12)

TRADUCCIÓN DE PATENTE EUROPEA LIMITADA

T7

(86) Fecha de presentación y número de la solicitud internacional: 02.05.2003 PCT/GB2003/01934

(87) Fecha y número de publicación internacional: 13.11.2003 WO03093320

(96) Fecha de presentación y número de la solicitud europea: 02.05.2003 E 03718974 (3)

(97) Fecha y número de publicación de la concesión europea modificada tras limitación: 20.12.2017 EP 1504035

54 Título: Anticuerpos específicos de CD22 humana y sus usos terapéuticos y diagnósticos

(30) Prioridad:

02.05.2002 GB 0210121

Fecha de publicación y mención en BOPI de la traducción de la patente limitada: 11.04.2018

(73) Titular/es:

UCB PHARMA, S.A. (100.0%) Allée de La Recherche 60 1070 Brussels, BE

(72) Inventor/es:

POPPLEWELL, ANDREW GEORGE; TICKLE, SIMON PETER y LADYMAN, HEATHER MARGARET

(74) Agente/Representante:

ARIAS SANZ, Juan

DESCRIPCIÓN

Anticuerpos específicos de CD22 humana y sus usos terapéuticos y diagnósticos

- La presente invención se refiere a una molécula de anticuerpo que tiene especificidad para los determinantes antigénicos del antígeno de los linfocitos B, CD22. La presente invención se refiere también a los usos terapéuticos de la molécula de anticuerpo y a métodos para producir la molécula de anticuerpo.
- En una molécula de un anticuerpo natural, hay dos cadenas pesadas y dos cadenas ligeras. Cada cadena pesada y cada cadena ligera tienen en su extremo N-terminal un dominio variable. Cada dominio variable se compone de cuatro regiones marco (FR) que alternan con tres regiones determinantes de la complementariedad (CDR). Los residuos de los dominios variables se numeran convencionalmente según un sistema creado por Kabat *et al.* Este sistema está descrito por Kabat *et al.*, 1987, en Sequences of proteins of Immunological Interest, US Department of Health and Human Services, NIH, USA (de aquí en adelante "Kabat *et al.* (cita anterior)"). Este sistema de numeración se usa en la presente memoria descriptiva excepto cuando se indica otra cosa.
- Las designaciones de los residuos de Kabat no siempre se corresponden directamente con la numeración lineal de los residuos de aminoácidos. La secuencia lineal real de aminoácidos puede contener menos aminoácidos o aminoácidos adicionales que los de la numeración estricta de Kabat que corresponde a un acortamiento de un componente estructural o a una inserción en un componente estructural, ya sea marco o CDR, de la estructura del dominio variable básico. La numeración correcta de Kabat de los residuos se puede determinar para un anticuerpo dado por alineamiento de los residuos de homología en la secuencia del anticuerpo con una secuencia "estándar" numerada según Kabat.
- Las CDR del dominio variable de cadena pesada están localizadas en los residuos 31-35 (CDR-H1), residuos 50-65 (CDR-H2) y residuos 95-102 (CDR-H3) según la numeración de Kabat.
 - Las CDR del dominio variable de cadena ligera están localizadas en los residuos 24-34 (CDR-L1), residuos 50-56 (CDR-L2) y residuos 89-97 (CDR-L3) según la numeración de Kabat.
 - La construcción de anticuerpos injertados con CDR se describe en la solicitud de patente europea EP-A-0239400, que describe un procedimiento en el que las CDR de un anticuerpo monoclonal de ratón se injertan en las regiones marco de los dominios variables de una inmunoglobulina humana mediante mutagénesis dirigida al sitio utilizando oligonucleótidos largos. Las CDR determinan la especificidad de unión al antígeno de los anticuerpos y son secuencias peptídicas relativamente cortas mantenidas sobre las regiones marco de los dominios variables.
 - El primer trabajo sobre anticuerpos monoclonales humanizados por injertos de CDR se llevó a cabo sobre anticuerpos monoclonales que reconocen antígenos sintéticos, tales como NP. Sin embargo, ejemplos en los que un anticuerpo monoclonal de ratón que reconoce la lisozima y un anticuerpo monoclonal de rata que reconoce un antígeno sobre las células T humanas fueron humanizados por injertos de CDR, han sido descritos por Verhoeyen *et al.* (Science, 239, 1534-1536, 1988) y Riechmann *et al.* (Nature, 332, 323-324, 1988), respectivamente.
- Riechmann *et al.*, encontraron que la transferencia de las CDR solas (como han sido definidas por Kabat (Kabat *et al.* (cita anterior) y Wu *et al.*, J. Exp. Med., 132, 211-250, 1970)) no fue suficiente para proporcionar una actividad satisfactoria de unión al antígeno en el producto injertado con CDR. Se encontró que muchos residuos marco tenían que ser alterados para que se correspondieran con los de la región marco del donante. Los criterios propuestos para seleccionar qué residuos marco necesitan ser alterados están descritos en la solicitud de patente internacional No. WO 90/07861.
- Se han publicado una serie de reseñas que exponen los anticuerpos injertados con CDR, incluyendo Vaughan *et al.* (Nature Biotechnology, 16, 535-539, 1998).
- Los linfomas malignos son un grupo diverso de neoplasmas. La mayoría de los casos aparecen en personas ancianas. El linfoma no Hodgkin (NHL) es una enfermedad que normalmente afecta de 200.000 a 250.000 pacientes en los Estados Unidos. Es el segundo cáncer que aumenta más rápidamente en los Estados Unidos, aumentando a una tasa de aproximadamente 55.000 nuevos casos por año. La incidencia aumenta a una velocidad que es mayor que la que se puede atribuir simplemente al aumento de la edad de la población y a la exposición a factores de riesgo conocidos.
- La clasificación del linfoma es compleja, y ha evolucionado en las recientes décadas. En 1994 se introdujo la clasificación revisada de linfomas europeo-americanos (REAL). Esta clasificación organiza los linfomas de células B (el identificado más frecuentemente), de células T y de origen inclasificable en subtipos acordados. En la práctica diaria, el agrupamiento de los NHL en categorías de grado bajo, intermedio y grado alto basándose en su apariencia histológica general, refleja en líneas generales su comportamiento clínico.

65

30

35

El NHL afecta predominantemente a los nódulos linfáticos pero, en pacientes individuales, el tumor puede implicar otros sitios anatómicos tales como el hígado, bazo, médula ósea, pulmones, intestino y piel. La enfermedad comúnmente se presenta como un alargamiento indoloro de los nódulos linfáticos. El linfoma extranodural afecta con la mayor frecuencia al intestino, aunque ha sido documentado el linfoma primario virtualmente de cada órgano. Los síntomas sistémicos incluyen fiebre, sudores, cansancio y pérdida de peso.

5

10

15

20

25

30

45

50

55

60

65

Hasta recientemente, el sistema de clasificación de Ann Arbor, basado enteramente en la extensión anatómica de la enfermedad, ha sido el principal determinante de la terapia en el NHL. Esta información puede ser mejorada incorporando indicadores adicionales de pronóstico, incluyendo la edad, los niveles de lactato-deshidrogenasa sérica y el estado general. Aún así, el conocimiento del sistema de clasificación de Ann Arbor, junto con el subtipo histológico e inmunológico del tumor, es todavía el principal determinante del tratamiento.

El NHL de grado bajo tiene un curso poco activo, con una supervivencia media del paciente de 8 a 10 años. La supervivencia se ve poco impactada por la terapia actualmente disponible, aunque la irradiación de la enfermedad local y la quimioterapia para los síntomas sistémicos mejoran la calidad de vida de los pacientes. La quimioterapia de combinación se puede reservar para la enfermedad recurrente. La enfermedad intermedia y, especialmente, la enfermedad de grado alto es extremadamente agresiva y tiende a diseminarse. La enfermedad de este grado requiere tratamiento urgente. La radioterapia puede ser un componente útil de tratamiento en pacientes con una enfermedad muy masiva. Se han empleado muchos regímenes diferentes de quimioterapia, y se puede obtener una supervivencia a largo plazo libre de la enfermedad en más de la mitad de los pacientes. La terapia de dosis altas con soporte de células madre se introdujo inicialmente para los pacientes con enfermedad recurrente o refractaria, pero ahora está encontrando, cada vez más, un lugar en la terapia de primera línea para los pacientes con enfermedad de poco riesgo. La tendencia en los últimos años hacia una estrategia terapéutica cada vez más agresiva debe ser sopesada frente a la edad generalmente elevada y la debilidad relativa de muchos pacientes con NHL, y por la necesidad de combinar la toxicidad del tratamiento con el diagnóstico individual de la enfermedad de cada paciente.

Se necesitan mejores tratamientos, que sean más eficaces y mejor tolerados. Los agentes recientemente introducidos incluyen nuevos fármacos citotóxicos, incorporados progresivamente en combinaciones, y la introducción de terapias basadas en anticuerpos.

El linfoma no Hodgkin engloba un conjunto de linfomas de células B. Los antígenos de las células B representan por tanto dianas adecuadas para la terapia con anticuerpos.

El CD22 es una glicoproteína de membrana de 135 kDa que pertenece a una familia de proteínas de unión al ácido siálico llamadas sialoadhesinas. Se detecta en el citoplasma de modo temprano en el desarrollo de las células B, aparece en la superficie celular simultáneamente con la IgD y se encuentra en la mayor parte de las células B maduras. La expresión aumenta después de la activación de las células B. El CD22 se pierde con la diferenciación terminal y generalmente se define como ausente en las células plasmáticas. Por tanto este antígeno de interiorización está presente en la superficie de células pre-B y de las células B maduras pero no en las células madre ni en las células plasmáticas.

Existen dos isoformas de CD22 en el hombre. La forma predominante (CD22β) contiene 7 dominios tipo inmunoglobulina (tipo Ig) en la región extracelular. La variante CD22α carece del dominio 4 tipo Ig y puede tener un dominio citoplásmico truncado. Los anticuerpos que bloquean la adhesión de CD22 a los monocitos, neutrófilos, linfocitos y eritrocitos se ha demostrado que se unen dentro del primero o segundo dominio tipo Ig.

El dominio citoplásmico de CD22 es tirosina fosforilada después del ligamiento del receptor del antígeno de células B y se asocia con Lyk, Syk y fosfatidil-inositol 3-quinasa. La función de CD22 es modular por reducción el umbral de activación de las células B. Puede mediar también en la adhesión de las células mediante la interacción con células que llevan los sialoglicoconjugados apropiados.

El CD22 se expresa en la mayor parte de las leucemias y linfomas de células B, incluyendo el NHL, la leucemia linfoblástica aguda (B-ALL), la leucemia linfocítica crónica (B-CLL) y especialmente la leucemia no linfocítica aguda (ANLL).

Los anticuerpos monoclonales frente a CD22 han sido descritos en la técnica anterior. El documento WO 98/41641 describe anticuerpos recombinantes anti-CD22 con residuos de cisteína en V_H44 y V_L100 . El documento WO 96/04925 describe las regiones V_H y V_L del anticuerpo LL2 anti-CD22. El documento US 5686072 describe combinaciones de inmunotoxinas anti-CD22 y anti-CD19. El documento WO 98/42378 describe el uso de anticuerpos desnudos anti-CD22 para el tratamiento de tumores malignos de células B.

Una serie de medicamentos basados en anticuerpos han sido autorizados recientemente, por ejemplo, Rituxan (un anticuerpo quimérico humano no marcado γ1 (+región mγ1V), específico para CD20), o están en ensayos clínicos para esta enfermedad. Estos se basan o bien en la destrucción de las células B mediada por el complemento o mediada por ADCC o bien en el uso de radionúclidos, tales como ¹³¹I o ⁹⁰Y, que llevan asociados los problemas de preparación y de uso para los clínicos y pacientes. Existe la necesidad de una molécula de anticuerpo para tratar el

NHL que se pueda usar repetidamente y que se produzca de manera fácil y eficiente. Existe también la necesidad de una molécula de anticuerpo, que tenga una alta afinidad para CD22 y una baja inmunogenicidad en los seres humanos.

5 El epratuzumab es una versión humanizada del anticuerpo LL2 que se une al dominio extracelular de CD22 con una afinidad (K_D) de 0,7 nM (Carnahan *et al.*, Clin. Cancer Res. 9. supplement, 3982s-3990s, 2003)

Sumario de la invención

20

45

- En un primer aspecto, la presente invención proporciona una molécula de anticuerpo que tiene especificidad para el CD22 humano, que comprende una cadena pesada en la que el dominio variable comprende una CDR (como ha sido definida por Kabat *et al.*, (cita anterior)) que tiene la secuencia dada como H1 en la Figura 1 (SEQ ID NO:1) para CDR-H1, como H2 en la Figura 1 (SEQ ID NO:2) o como H2 de la que se ha separado un sitio potencial de glicosilación, o una H2 en la que el residuo de lisina en la posición 60 (según el sistema de numeración de Kabat) ha sido reemplazado por un aminoácido alternativo, o una H2 en la que tanto el sitio de glicosilación como la lisina reactiva en la posición 60 han sido eliminados para CDR-H2 y como H3 en la Figura 1 (SEQ ID NO:3) para CDR-H3 y una cadena ligera en la que el dominio variable comprende una CDR (como ha sido definida por Kabat *et al.*, (cita anterior)) que tiene la secuencia dada como L1 en la Figura 1 (SEQ ID NO:4) para CDR-L1, como L2 en la Figura 1 (SEQ ID NO:5) para CDR-L2 y como L3 en la Figura 1 (SEQ ID NO:6) para CDR-L3.
 - Las CDR dadas en las SEQ IDS NOS:1 a 6 y en la Figura 1 mencionadas anteriormente se derivan de un anticuerpo monoclonal de ratón 5/44.
- Las secuencias completas de los dominios variables del anticuerpo de ratón 5/44 se muestran en la Figura 2 (cadena ligera) (SEQ ID NO:7) y en la Figura 3 (cadena pesada) (SEQ ID NO:8). Este anticuerpo de ratón se denomina también en lo que sigue "el anticuerpo del donante" o el "anticuerpo monoclonal murino".
- Una realización alternativamente preferida de la presente invención es el anticuerpo monoclonal de ratón 5/44 que tiene las secuencias del dominio variable de cadena ligera y de cadena pesada que se muestran en la Figura 2 (SEQ ID NO:7) y en la Figura 3 (SEQ ID NO:8), respectivamente. La región constante de cadena ligera de 5/44 es kappa y la región constante de cadena pesada es IgG1.
- En otra realización preferida, el anticuerpo según la presente invención es una molécula de anticuerpo quimérico de ratón/humano, que se denomina aquí molécula de anticuerpo 5/44 quimérico. La molécula de anticuerpo quimérico comprende los dominios variables del anticuerpo monoclonal de ratón 5/44 (SEQ ID NOS:7 y 8) y los dominios constantes humanos. Preferiblemente, la molécula de anticuerpo 5/44 quimérico comprende el dominio C kappa humano (Hieter et al., Cell, 22, 197-207, 1980; número de acceso de Genebank J00241) en la cadena ligera y los 4 dominios gamma humanos (Flanagan et al., Nature, 300, 709-713, 1982) en la cadena pesada, opcionalmente con el residuo de serina en la posición 241 reemplazado por un residuo de prolina.
 - Preferiblemente, el anticuerpo de la presente invención comprende una cadena pesada en la que el dominio variable comprende como CDR-H2 (como ha sido definida por Kabat *et al.*, (cita anterior)) un H2' en el que una secuencia del sitio potencial de glicosilación ha sido eliminada y en el que inesperadamente ha aumentado la afinidad del anticuerpo 5/44 quimérico para el antígeno CD22 y que preferiblemente tiene como CDR-H2 la secuencia dada como H2' (SEQ ID NO:13).
 - Alternativamente o adicionalmente, el anticuerpo de la presente invención puede comprender una cadena pesada en la que el dominio variable comprende como CDR-H2 (como ha sido definida por Kabat *et al.*, (cita anterior)) un H2" en el que un residuo de lisina en la posición 60, que está localizado en una posición expuesta dentro de CDR-H2 y que se considera que tiene el potencial de reaccionar con agentes de conjugación dando como resultado una reducción de la afinidad de unión al antígeno, está sustituido por un aminoácido alternativo para producir una sustitución conservada. Preferiblemente CDR-H2 tiene la secuencia dada como H2" (SEQ ID NO:15).
- Alternativamente o adicionalmente, el anticuerpo de la presente invención puede comprender una cadena pesada en la que el dominio variable comprende como CDR-H2 (como ha sido definida por Kabat *et al.*, (cita anterior)) un H2" en el que tanto la secuencia del sitio potencial de glicosilación como el residuo de lisina en la posición 60, están sustituidos por aminoácidos alternativos. Preferiblemente CDR-H2 tiene la secuencia dada como H2" (SEQ ID NO:16).
- 60 En una tercera realización alternativamente preferida, el anticuerpo según la presente invención es una molécula de anticuerpo injertada con CDR. La expresión "una molécula de anticuerpo injertada con CDR " como se usa aquí se refiere a una molécula de anticuerpo en la que la cadena pesada y/o la cadena ligera contiene una o más CDR (incluyendo, si se desea, una CDR modificada) procedentes de un anticuerpo del donante (por ejemplo, un anticuerpo monoclonal murino) injertadas en una cadena pesada y/o en una cadena ligera del marco de la región variable de un anticuerpo del aceptor (por ejemplo, un anticuerpo humano).

Preferiblemente, dicho anticuerpo injertado con CDR tiene un dominio variable que comprende las regiones marco del aceptor humano así como una o más CDR del donante mencionadas anteriormente.

- Cuando se injertan las CDR, se puede usar cualquier secuencia marco apropiada de la región variable del aceptor teniendo en cuenta la clase/tipo del anticuerpo del donante del que se derivan las CDR, incluyendo las regiones marco de ratón, de primates y humanas. Ejemplos de marcos humanos que se pueden usar en la presente invención son KOL, NEWM, REI, EU, TUR, TEI, LAY y POM (Kabat *et al.* (cita anterior)). Por ejemplo, KOL y NEWM se pueden usar para la cadena pesada, REI se puede usar para la cadena ligera y EU, LAY y POM se pueden usar tanto para la cadena pesada como para la cadena ligera. Alternativamente, se pueden usar secuencias de la línea germinal humana. La región marco preferida para la cadena ligera es la secuencia del subgrupo germinal humano (DPK9+JK1) que se muestra en la Figura 5 (SEQ ID NO: 17). La región marco preferida para la cadena pesada es la secuencia del subgrupo humano (DP7+JH4) que se muestra en la Figura 6 (SEQ ID NO:21).
- 15 En un anticuerpo injertado con CDR de la presente invención, se prefiere usar como anticuerpo del aceptor uno que tenga cadenas que sean homólogas a las cadenas del anticuerpo del donante. Las cadenas pesadas y ligeras del aceptor no tienen que ser derivadas necesariamente del mismo anticuerpo y, si se desea, pueden comprender cadenas compuestas con regiones marco derivadas de diferentes cadenas.
- También, en un anticuerpo injertado con CDR de la presente invención, las regiones marco no tienen que tener necesariamente exactamente la misma secuencia que las del anticuerpo del aceptor. Por ejemplo, los residuos inusuales pueden ser cambiados a residuos que se presentan más frecuentemente para esa clase o tipo de cadena del aceptor. Alternativamente, los residuos seleccionados en las regiones marco del aceptor se pueden cambiar para que se correspondan con el residuo encontrado en la misma posición en el anticuerpo del donante o con un residuo que es una sustitución conservadora del residuo encontrado en la misma posición en el anticuerpo del donante. Dichos cambios se deben mantener al mínimo necesario para recuperar la afinidad del anticuerpo del donante. En el documento WO 91/09967 se expone un protocolo para seleccionar residuos en las regiones marco del aceptor que puede ser necesario cambiar.
- Preferiblemente, en una molécula de anticuerpo injertada con CDR según la presente invención, si la cadena ligera del aceptor tiene la secuencia del subgrupo DPK9+JK1 humano (mostrada en la Figura 5) (SEQ ID NO:17 (DPK9) más SEQ ID NO:18(JK1)) entonces las regiones marco del aceptor de la cadena ligera comprenden residuos del donante en las posiciones 2, 4, 37, 38, 45 y 60 y pueden comprender adicionalmente un residuo del donante en la posición 3 (según Kabat *et al.* (cita anterior)).
 - Preferiblemente, en una molécula de anticuerpo injertada con CDR de la presente invención, si la cadena pesada del aceptor tiene la secuencia DP7+JH4 humana (mostrada en la Figura 6 (SEQ ID NO:21 (DP7) más SEQ ID NO:22 (JH4)), entonces las regiones marco del aceptor de la cadena pesada comprenden, en adición a una o más CDR del donante, residuos del donante en las posiciones 1, 28, 48, 71 y 93 y pueden comprender adicionalmente residuos del donante en las posiciones 67 y 69 (según Kabat et al. (cita anterior)).
 - Los residuos del donante son residuos procedentes del anticuerpo del donante, esto es el anticuerpo del cual se derivaron originalmente las CDR.
- Preferiblemente, el anticuerpo de la presente invención comprende una cadena pesada en la que el dominio variable comprende como CDR-H2 (como ha sido definida por Kabat *et al.*, (*cita anterior*)) un H2' en el que una secuencia del sitio potencial de glicosilación ha sido eliminada para aumentar la afinidad del anticuerpo 5/44 quimérico para el antígeno CD22 y que preferiblemente tiene como CDR-H2 la secuencia dada como H2' (SEQ ID NO:13).

40

60

- Alternativamente o adicionalmente, el anticuerpo de la presente invención puede comprender una cadena pesada en la que el dominio variable comprende como CDR-H2 (como ha sido definida por Kabat *et al.*, (cita anterior)) un H2" en el que un residuo de lisina en la posición 60, que está localizado en una posición expuesta dentro de CDR-H2 y que se considera que tiene el potencial de reaccionar con agentes de conjugación dando como resultado una reducción de la afinidad de unión al antígeno, está sustituido por un aminoácido alternativo. Preferiblemente CDR-H2 tiene la secuencia dada como H2" (SEQ ID NO: 15).
 - Alternativamente o adicionalmente, el anticuerpo de la presente invención puede comprender una cadena pesada en la que el dominio variable comprende como CDR-H2 (como ha sido definida por Kabat *et al.*, (cita anterior)) un H2" en el que tanto la secuencia del sitio potencial de glicosilación como el residuo de lisina en la posición 60, están sustituidos por aminoácidos alternativos. Preferiblemente CDR-H2 tiene la secuencia dada como H2" (SEQ ID NO:16).
 - La molécula de anticuerpo de la presente invención puede comprender: una molécula de anticuerpo completa, que tiene las cadenas pesadas y ligeras de longitud completa; un fragmento de la misma, tal como un Fab, Fab modificado, Fab', F(ab')₂ o fragmento Fv; un monómero o dímero de cadena ligera o cadena pesada; un anticuerpo de cadena sencilla, por ejemplo, un Fv de cadena sencilla en el que los dominios variables de cadena pesada y de

cadena ligera están unidos por un enlace peptídico. Similarmente, las regiones variables de cadena pesada y de cadena ligera se pueden combinar con otros dominios de anticuerpo cuando sea apropiado.

La molécula de anticuerpo de la presente invención puede tener unida a ella, una molécula efectora o una molécula indicadora. Por ejemplo, puede tener un macrociclo, para quelar un átomo de un metal pesado, o una toxina, tal como ricina, unida a ella por una estructura de puente covalente. Alternativamente, se pueden usar procedimientos de tecnología de ADN recombinante para producir una molécula de anticuerpo en la que el fragmento Fc (CH2, CH3 y dominios bisagra), los dominios CH2 y CH3 o el dominio CH3 de una molécula de inmunoglobulina completa han sido reemplazados, o han sido unidos a la misma por un enlace peptídico, una proteína no inmunoglobulina funcional, tal como una enzima o una molécula de toxina.

5

10

35

40

45

50

La molécula de anticuerpo de la presente invención, tiene preferiblemente una afinidad de unión de al menos $0.85 \times 10^{-10} \text{ M}$, más preferiblemente al menos $0.75 \times 10^{-10} \text{ M}$ y lo más preferiblemente al menos $0.5 \times 10^{10} \text{ M}$.

Preferiblemente, la molécula de anticuerpo de la presente invención comprende el dominio variable de cadena ligera 5/44-gL1 (SEQ ID NO:19) y el dominio variable de cadena pesada 5/44-gH7 (SEQ ID NO:27). Las secuencias de los dominios variables de estas cadenas ligeras y pesadas se muestran en las Figuras 5 y 6, respectivamente.

También se han descrito variantes de la molécula de anticuerpo de la presente invención, que tienen una afinidad mejorada para CD22. Dichas variantes se pueden obtener por una serie de protocolos de maduración de afinidad incluyendo la mutación de las CDR (Yang et al., J. Mol. Biol., 254, 392-403, 1995), la mezcla de cadenas (Marks et al., Bio/Technology, 10, 779-783, 1992), el uso de cepas mutantes de E. coli (Low et al., J. Mol. Biol., 250, 359-368, 1996), la mezcla de ADN (Patten et al., Curr. Opin. Biotechnol., 8, 724-733, 1997), la exposición de fagos (Thompson et al., J. Mol. Biol., 256, 77-88, 1996) y la PCR sexual (Crameri et al., Nature, 391, 288-291, 1998). Vaughan et al. (cita anterior) expone estos métodos de maduración de afinidad.

La presente invención proporciona también una secuencia de ADN que codifica la cadena o cadenas pesadas y/o ligeras de la molécula de anticuerpo de la presente invención.

Preferiblemente, la secuencia de ADN codifica la cadena pesada o la cadena ligera de la molécula de anticuerpo de la presente invención.

La secuencia de ADN de la presente invención puede comprender ADN sintético, por ejemplo producido por un proceso químico, cADN, ADN genómico o cualquier combinación de los mismos.

La presente invención se refiere también a un vector de clonación o de expresión que comprende una o más secuencias de ADN de la presente invención. Preferiblemente, el vector de clonación o de expresión comprende dos secuencias de ADN, que codifican la cadena ligera y la cadena pesada de la molécula de anticuerpo de la presente invención, respectivamente.

Los métodos generales por los que los vectores se pueden construir, los métodos de transfección y los métodos de cultivo son bien conocidos por los expertos en la técnica. A este respecto, se hace referencia a "Current Protocols in Molecular Biology", 1999, F. M. Ausubel (ed), Wiley Interscience, New York y el Maniatis Manual producido por Cold Spring Harbor Publishing.

Las secuencias de ADN que codifican la molécula de anticuerpo de la presente invención se pueden obtener por métodos bien conocidos por los expertos en la técnica. Por ejemplo, las secuencias de ADN que codifican la totalidad o parte de las cadenas pesadas y ligeras del anticuerpo se pueden sintetizar como se desee a partir de las secuencias de ADN determinadas o sobre la base de las correspondientes secuencias de aminoácidos.

El ADN que codifica las secuencias marco del aceptor está ampliamente disponible para los expertos en la técnica y se puede sintetizar fácilmente sobre la base de sus secuencias conocidas de aminoácidos.

Las técnicas estándar de biología molecular se pueden usar para preparar las secuencias de ADN que codifica la molécula de anticuerpo de la presente invención. Las secuencias de ADN deseadas se pueden sintetizar completamente o en parte utilizando técnicas de síntesis de oligonucleótidos. Se pueden utilizar la mutagénesis dirigida a un sitio y las técnicas de reacción en cadena de la polimerasa (PCR) según sea apropiado.

Se puede utilizar cualquier sistema adecuado de célula hospedante/vector para la expresión de las secuencias de ADN que codifican la molécula de anticuerpo de la presente invención. Se pueden usar sistemas bacterianos, por ejemplo *E. coli*, y otros sistemas microbianos, en parte, para la expresión de fragmentos de anticuerpo tales como los fragmentos Fab y F(ab')₂, y especialmente los fragmentos Fv y los fragmentos de anticuerpo de cadena sencilla, por ejemplo, los Fv de cadena sencilla. Se pueden usar sistemas de expresión de células hospedantes eucarióticas, por ejemplo, de mamífero, para la producción de moléculas de anticuerpo más grandes, incluyendo las moléculas de anticuerpo completas. Las células hospedantes de mamífero adecuadas incluyen células de CHO, de mieloma o hibridoma.

La presente invención proporciona también un procedimiento para la producción de una molécula de anticuerpo según la presente invención, que comprende el cultivo de una célula hospedante que contiene un vector de la presente invención en condiciones adecuadas para llevar a la expresión de una proteína a partir de ADN que codifica la molécula de anticuerpo de la presente invención, y al aislamiento de la molécula de anticuerpo.

5

10

15

35

45

50

55

65

Para la producción de productos que comprenden tanto cadenas pesadas como cadenas ligeras, la línea de células se puede transfectar con dos vectores, un primer vector que codifica un polipéptido de cadena ligera y un segundo vector que codifica un polipéptido de cadena pesada. Alternativamente, se puede utilizar un vector sencillo, y el vector incluye secuencias que codifican polipéptidos de cadena ligera y de cadena pesada.

La presente invención proporciona también una composición terapéutica o para diagnóstico, que comprende una molécula de anticuerpo de la presente invención en combinación con un excipiente, diluyente o vehículo farmacéuticamente aceptable.

La presente invención proporciona también un procedimiento para la preparación de una composición terapéutica o para diagnóstico, que comprende la mezcla de una molécula de anticuerpo de la presente invención junto con un excipiente, diluyente o vehículo farmacéuticamente aceptable.

La molécula de anticuerpo puede ser el único ingrediente activo en la composición terapéutica o para diagnóstico o puede ir acompañado por otros ingredientes activos incluyendo otros ingredientes anticuerpos, por ejemplo células anti-T, anticuerpos anti-IFNy o anti-LPS, o ingredientes no anticuerpos tales como las xantinas.

Las composiciones farmacéuticas preferiblemente comprenden una cantidad terapéuticamente eficaz del anticuerpo de la invención. La expresión "cantidad terapéuticamente eficaz" como se usa aquí se refiere a una cantidad de un agente terapéutico necesario para tratar, mejorar o prevenir una enfermedad o condición determinada, o para poner de manifiesto un efecto terapéutico o preventivo detectable. Para cualquier anticuerpo, la dosis terapéuticamente eficaz se puede estimar inicialmente o en ensayos de cultivo celular o en modelos animales, usualmente en roedores, conejos, perros, cerdos o primates. El modelo animal se puede usar también para determinar el intervalo de concentración apropiado y la vía de administración. Dicha información se puede usar entonces para determinar las dosis útiles y las vías de administración en los seres humanos.

La cantidad eficaz precisa para un sujeto humano dependerá de la gravedad de la enfermedad, de la salud general del sujeto, de la edad, peso y sexo del sujeto, de la dieta, tiempo y frecuencia de la administración, combinación o combinaciones de fármacos, reacciones de sensibilidad y tolerancia/respuesta a la terapia. Esta cantidad se puede determinar por experimentación rutinaria y depende de la opinión del clínico. Generalmente, una dosis eficaz variará de 0,01 mg/kg a 50 mg/kg, preferiblemente de 0,1 mg/kg a 20 mg/kg, más preferiblemente aproximadamente 15 mg/kg.

40 Las composiciones se pueden administrar individualmente a un paciente o se pueden administrar en combinación con otros agentes, fármacos u hormonas.

La dosis a la que se administra la molécula de anticuerpo de la presente invención depende de la naturaleza de la enfermedad a tratar, del grado de linfoma maligno o leucemia y de si la molécula de anticuerpo se usa profilácticamente o para tratar una afección existente.

La frecuencia de administración dependerá de la semivida de la molécula de anticuerpo y de la duración de su efecto. Si la molécula de anticuerpo tiene una semivida corta (por ejemplo, 2 a 10 horas) puede ser necesario administrar una o más dosis al día. Alternativamente, si la molécula de anticuerpo tiene una semivida larga (por ejemplo, 2 a 15 días) puede ser necesario administrar solamente una dosis una vez al día, una vez por semana o incluso una vez cada 1 o 2 meses.

Una composición farmacéutica puede contener también un vehículo farmacéuticamente aceptable para la administración del anticuerpo. El vehículo no debe inducir por sí mismo la producción de anticuerpos nocivos para el individuo que recibe la composición y no debe ser tóxico. Pueden ser vehículos adecuados las macromoléculas grandes, metabolizadas lentamente, tales como las proteínas, polipéptidos, liposomas, polisacáridos, ácidos polilácticos, ácidos poliglicólicos, aminoácidos poliméricos, copolímeros de aminoácidos y partículas de virus inactivas.

Se pueden usar sales farmacéuticamente aceptables, por ejemplo sales de un ácido mineral, tales como hidrocloruros, hidrobromuros, fosfatos y sulfatos, o sales de ácidos orgánicos, tales como acetatos, propionatos, malonatos y benzoatos.

Los vehículos farmacéuticamente aceptables de las composiciones terapéuticas pueden contener adicionalmente líquidos tales como agua, solución salina, glicerol y etanol. Adicionalmente pueden estar presentes en dichas composiciones, sustancias auxiliares, tales como agentes humectantes o emulsionantes o sustancias tamponantes del

pH. Tales vehículos hacen posible que las composiciones farmacéuticas sean formuladas como comprimidos, píldoras, grageas, cápsulas, líquidos, geles, jarabes, mezclas y suspensiones, para ingestión por el paciente.

Las formas preferidas para administración incluyen formas adecuadas para administración parenteral, por ejemplo, mediante invección o perfusión, por ejemplo por invección rápida o por perfusión continua. Cuando el producto es para inyección o para perfusión, puede tomar la forma de una suspensión, solución o emulsión en un vehículo acuoso u oleoso y puede contener agentes de formulación, tales como agentes de suspensión, conservantes, estabilizantes y/o dispersantes. Alternativamente, la molécula de anticuerpo puede estar en forma seca, para reconstitución antes de su uso con un líquido estéril apropiado.

Una vez formuladas, las composiciones de la invención se pueden administrar directamente al sujeto. Los sujetos a ser tratados pueden ser animales. Sin embargo, es preferible que las composiciones se adapten para administración a sujetos humanos.

15 Las composiciones farmacéuticas de esta invención se pueden administrar por toda serie de vías incluyendo, pero sin limitarse a ellas, las vías oral, intravenosa, intramuscular, intraarterial, intramedular, intratecal, intraventricular, transdérmica, transcutánea (por ejemplo, véase WO98/20734), subcutánea, intraperitoneal, intranasal, enteral, tópica, sublingual, intravaginal o rectal. Los hyposprays se pueden usar también para administrar las composiciones farmacéuticas de la invención. Típicamente, las composiciones terapéuticas se pueden preparar como inyectables, ya sea como soluciones líquidas o como suspensiones. Se pueden preparar también formas sólidas adecuadas para 20 solución, o suspensión, en vehículos líquidos previamente a la inyección.

La administración directa de las composiciones generalmente se realizará por inyección, subcutáneamente, intraperitonealmente, intravenosamente o intramuscularmente, o se pueden administrar en el espacio intersticial de un tejido. Las composiciones se pueden administrar también en una lesión. La posología de tratamiento puede ser un programa de dosis única o un programa de dosis múltiples.

Se puede apreciar que el ingrediente activo de la composición será una molécula de anticuerpo. Como tal, será susceptible de degradación en el tracto gastrointestinal. Por tanto, si la composición es para ser administrada por una vía que usa el tracto gastrointestinal, la composición necesitará contener agentes que proteian al anticuerpo de la degradación pero que liberen el anticuerpo una vez que ha sido absorbido del tracto gastrointestinal.

Una exposición concienzuda de vehículos farmacéuticamente aceptables está disponible en Remington's Pharmaceutical Sciences (Mack Publishing Company, N.J. 1991).

También se contempla que el anticuerpo de la presente invención sea administrado mediante el uso de terapia génica. Con el fin de conseguir esto, las secuencias de ADN que codifican las cadenas pesadas y ligeras de la molécula de anticuerpo bajo el control de componentes apropiados de ADN se introducen en un paciente, de tal modo que las cadenas de anticuerpo se expresen a partir de las secuencias de ADN y sean ensambladas in situ.

La presente invención proporciona también la molécula de anticuerpo de la presente invención, para uso en el tratamiento de una enfermedad mediada por las células que expresan CD22.

La presente invención proporciona además el uso de la molécula de anticuerpo según la presente invención, en la fabricación de un medicamento para el tratamiento de una enfermedad mediada por las células que expresan CD22.

La molécula de anticuerpo de la presente invención se puede utilizar en cualquier terapia en la que se desee reducir el nivel de células que expresan CD22 que están presentes en el cuerpo humano o animal. Estas células que expresan CD22 pueden estar circulando en el cuerpo o estar presentes a un nivel indeseablemente alto localizado en un sitio particular del cuerpo. Por ejemplo, los niveles elevados de células que expresan CD22 estarán presentes en los linfomas de células B y en las leucemias. Se puede utilizar la molécula de anticuerpo de la presente invención en la terapia de enfermedades mediadas por las células que expresan CD22.

La molécula de anticuerpo de la presente invención se usa preferiblemente para el tratamiento de linfomas malignos v leucemias, muy preferiblemente el NHL.

Se ha descrito un método para tratar sujetos humanos o animales que padecen o tienen riesgo de padecer un trastorno mediado por las células que expresan CD22, comprendiendo el método administrar al sujeto una cantidad eficaz de la molécula de anticuerpo de la presente invención.

La molécula de anticuerpo de la presente invención se puede usar también en el diagnóstico, por ejemplo en el diagnóstico in vivo y en el diagnóstico por imagen de las enfermedades que implican células que expresan CD22.

La presente invención se describe adicionalmente sólo a modo de ilustración en los siguientes ejemplos, que hacen referencia a las Figuras adjuntas, en las cuales:

8

10

5

30

25

35

40

50

45

55

60

La Figura 1 presenta la secuencia de aminoácidos de las CDR del anticuerpo monoclonal de ratón 5/44 (SEQ ID NOS:1 a 6);

La Figura 2 presenta la secuencia completa del dominio variable de cadena ligera del anticuerpo monoclonal de ratón 5/44:

La Figura 3 presenta la secuencia completa del dominio variable de cadena pesada del anticuerpo monoclonal de ratón 5/44;

- 10 La Figura 4 presenta la estrategia para la eliminación del sitio de glicosilación y de la lisina reactiva en CDR-H2;
 - La Figura 5 presenta el diseño de injerto para la secuencia de cadena ligera 5/44;
 - La Figura 6 presenta el diseño de injerto para la secuencia de cadena pesada 5/44;
 - La Figura 7 presenta los vectores pMRR14 y pMRR10.1;
 - La Figura 8 presenta los resultados del ensayo Biacore de los mutantes 5/44 quiméricos;
- 20 La Figura 9 presenta los oligonucleótidos para el ensamblaje de los genes gH 1 y gL1 en 5/44;
 - La Figura 10 presenta los vectores intermedios pCR2.1 (544gH1) y pCR2.1 (544gL1);
 - La Figura 11 presenta las casetes de oligonucleótidos utilizadas para preparar injertos adicionales;
 - La Figura 12 presenta el ensayo de competición entre el anticuerpo de ratón 5/44 marcado fluorescentemente y las variantes injertadas; y
 - La Figura 13 presenta la secuencia completa de ADN y proteína de las cadenas pesadas y ligeras injertadas.

Descripción detallada de la invención

Eiemplo 1

5

15

25

30

40

45

50

35 Generación de anticuerpos candidatos

Se seleccionaron un panel de anticuerpos frente a CD22 a partir de hibridomas utilizando los siguientes criterios de selección: unión a células Daudi, interiorización sobre células Daudi, unión a células mononucleares de sangre periférica (PBMC), interiorización sobre PBMC, afinidad (superior a 10⁻⁹M), γ1 de ratón y tasa de producción. Se seleccionó el 5/44 como el anticuerpo preferido.

Ejemplo 2

Clonación y expresión génica de una molécula de anticuerpo 5/44 quimérico

Preparación de las células de hibridoma 5/44 y preparación del RNA a partir de ellas

El hibridoma 5/44 se generó por tecnología convencional de hibridoma después de la inmunización de ratones con proteína CD22 humana. Se preparó el RNA a partir de las células de hibridoma 5/44 utilizando un kit RNEasy (Qiagen, Crawley, UK; Catalogue No. 74106). El RNA obtenido se transcribió de forma inversa a cADN, como se describe más adelante.

Distribución de CD22 en los tumores de NHL

- Se ha realizado un estudio inmunohistoquímico para examinar la incidencia y la distribución de la tinción utilizando anticuerpos monoclonales 5/44 anti-CD22. Se incluyeron en el estudio anticuerpos control anti-CD20 y anti-CD79a para confirmar las áreas de células B de los tumores.
- Se estudió un total de 50 tumores y se dividieron en categorías como sigue utilizando los sistemas de clasificación de Formulación de Trabajo y el REAL:
 - 7 Leucemias/linfomas linfoblásticos B (Grado alto/l)
 - 4 Linfomas linfocíticos pequeños B-CLL (Grado bajo/A)
 - 3 Inmunocitomas linfoplasmacitoides (Grado bajo /A)

- 1 Célula de cubierta (Grado intermedio/F)
- 14 Linfomas del centro folicular (Grado bajo a intermedio/D)
- 13 Linfomas de células grandes difusas (Grado intermedio a alto/G,H)
- 6 Inclasificables (K)
- 10 2 Linfomas de células T

5

15

20

35

50

55

60

40 linfomas de células B fueron positivos para el antígeno CD22 con el anticuerpo 5/44 a 0,1 pg/ml y otros 6 se convirtieron en positivos cuando la concentración aumentó a 0,5 μg/ml. Para los 2 tumores restantes de células B que fueron negativos a 0,1 μg/ml, hubo insuficiente tejido restante para analizar a la concentración más alta. Sin embargo, el ensayo paralelo con otro anticuerpo 6/13 anti-CD22 Celltech, que dio una tinción más fuerte que el 5/44, dio como resultado en los 48 linfomas de células B una tinción positiva para CD22.

Por tanto, es posible llegar a la conclusión de que el antígeno CD22 está ampliamente expresado en los linfomas de células B y por ello proporciona una diana adecuada para la inmunoterapia en el NHL.

Clonación por PCR de 5/44 VH y VL

Las secuencias de cADN que codifican los dominios variables de cadenas pesadas y ligeras de 5/44 se sintetizaron utilizando transcriptasa reversa para producir copias de cADN de una sola cadena del mRNA presente en el RNA total. Este se utilizó entonces como el modelo para la amplificación de las secuencias de la región V murina utilizando cebadores de oligonucleótidos específicos mediante la reacción en cadena de la polimerasa (PCR).

a) Síntesis de cADN

30 El cADN se sintetizó en un volumen de reacción de 20 μl que contenía los siguientes reactivos: Tris-HCl 50 mM pH 8,3, KCl 75 mM, ditiotreitol 10 mM, MgCl₂ 3 mM, cada desoxiribonucleósido-trifosfato a concentración 0,5 mM, 20 unidades de RNAsin, 75 ng de cebador hexanucleótido aleatorio, 2 μg de RNA 5/44 y 200 unidades de transcriptasa reversa de virus de leucemia murina de Moloney. Después de incubación a 42 °C durante 60 minutos, se terminó la reacción calentando a 95 °C durante 5 minutos.

b) PCR

Se sometieron alícuotas de cADN a la PCR usando combinaciones de cebadores específicos para cadenas pesadas y ligeras. Se utilizaron como cebadores directos mezclas de cebadores degenerados diseñados para hibridarse con las secuencias del péptido señal. Todas estas secuencias contienen, en orden, un sitio de restricción (V_L Sful; V_H HindIII) a partir de 7 nucleótidos de sus extremos 5', la secuencia GCCGCCACC (SEQ ID NO:50), para permitir la traducción óptima de los mRNA resultantes, un codón de iniciación y 20-30 nucleótidos basados en las secuencias del péptido líder de anticuerpos conocidos de ratón (Kabat *et al.*, Sequences of proteins of immunological interest, 5th Edition, 1991, U.S. Department of Health and Human Services, Public Health Service, National Institutes of Health).

Los cebadores 3' se diseñan para abarcar la unión J-C del marco 4 del anticuerpo y contienen un sitio de restricción para la enzima BsiWI para facilitar la clonación del fragmento V_L PCR. Los cebadores 3' de cadena pesada son una mezcla diseñada para abarcar la unión J-C del anticuerpo. El cebador 3' incluye un sitio de restricción Apal para facilitar la clonación. La región 3' de los cebadores contiene una secuencia mixta basada en las que se encuentran en anticuerpos conocidos de ratón (Kabat *et al.*, 1991, cita anterior).

Las combinaciones de los cebadores descritos antes hacen posibles los productos de la PCR para que V_H y V1 sean clonados directamente en un vector de expresión apropiado (véase más adelante) para producir cadenas pesadas y ligeras quiméricas (de ratón-humano) y para que estos genes sean expresados en células de mamíferos para producir anticuerpos quiméricos del isotipo deseado.

Las incubaciones (100 µl) para la PCR se prepararon como sigue. Cada reacción contenía Tris-HCl 10 mM pH 8,3, MgCl2 1,5 mM, KCl 50 mM, gelatina al 0,01 % p/v, cada desoxiribonucleósido-trifosfato a concentración 0,25 mM, 10 pmol de mezcla de cebador 5', 10 pmol de cebador 3', 1 µl de cADN y 1 unidad de Taq polimerasa. Se incubaron las reacciones a 95 °C durante 5 minutos y después se sometieron a ciclos de 94 °C durante 1 minuto, 55 °C durante 1 minuto y 72 °C durante 1 minuto. Después de 30 ciclos, se analizaron alícuotas de cada reacción por electroforesis sobre un gel de agarosa.

Para la región V de cadena pesada, solamente se obtuvo un producto de ADN amplificado cuando un grupo de cebadores hibridado dentro del comienzo del marco I reemplazó al grupo de cebadores del péptido señal. Los fragmentos se clonaron en vectores de secuenciación del ADN. Se determinó la secuencia de ADN y se tradujo para dar una secuencia deducida de aminoácidos. Esta secuencia deducida se verificó por referencia a la secuencia proteínica N-terminal determinada experimentalmente. Las figuras 2 y 3 presentan la secuencia proteínica de ADN de las regiones V maduras de cadena ligera y pesada del anticuerpo monoclonal de ratón 5/44 respectivamente.

c) Clonación molecular de los fragmentos de la PCR

Se clonaron entonces las secuencias de la región v murina en los vectores de expresión pMRR10.1 y pMRR14 (Figura 7). Estos son vectores para la expresión de la cadena ligera y de la cadena pesada respectivamente que contienen ADN que codifica las regiones constantes de la cadena ligera kappa humana y de la cadena pesada gamma-4 humana. La región V_L se subclonó hasta el vector de expresión por digestión de restricción y ligamiento a partir del vector de secuenciación, utilizando los sitios de restricción Sful y BsiWI, creando el plásmido pMRR10(544cL). El ADN de cadena pesada se amplificó por la PCR utilizando un cebador 5' para introducir un péptido señal, ya que no se obtuvo éste en la estrategia de clonación - se empleó un anticuerpo líder de cadena pesada de ratón a partir de un hibridoma diferente interno (denominado 162). El cebador 5' tenía la siguiente secuencia:

⁵GCGCGCAAGCTTGCCGCCACCATGGACTTCGGATTCTCTCGTGTTCCTGGC ACTCATTCTCAAGGGAGTGCAGTGTGAGGTGCAGCTCGTCGAGTCTGG³ (SEQ ID NO:51).

El cebador inverso era idéntico al utilizado en la clonación del gen V_H original. El producto resultante de la PCR se digirió con enzimas HindIII y ApaI, se sub-clonó, y se confirmó su secuencia de ADN, creando el plásmido pMRR14(544cH). La co-transfección transitoria de ambos vectores de expresión en células CHO generó el anticuerpo c5/44 quimérico. Este se consiguió utilizando el reactivo de lipofectamina según los protocolos del fabricante (InVitrogen:Life Technology, Groningen, The Netherlands. Catalogue no. 11668-027).

Eliminación del sitio de glicosilación y de la lisina reactiva

25

30

35

40

45

50

55

60

Se observó en la CDR-H2 una secuencia del sitio potencial de glicosilación unido por N, que tiene la secuencia de aminoácidos N-Y-T (Figura 3). La SDS-PAGE, la transferencia Western y la tinción por carbohidrato de geles de 5/44 y sus fragmentos (incluyendo Fab) indicaron que este sitio estaba ciertamente glicosilado (no se muestra). En adición, se observó un residuo de lisina en una posición expuesta dentro de CDR-H2, que tenía el potencial de reducir la afinidad de unión del anticuerpo proporcionando un sitio adicional para la conjugación con un agente con el que se pueda conjugar el anticuerpo.

Se utilizó una estrategia de PCR para introducir sustituciones de aminoácidos en la secuencia de CDR-H2 en un intento de eliminar el sitio de glicosilación y/o la lisina reactiva, como se muestra en la Figura 4. Se utilizaron cebadores directos que codifican las mutaciones N55Q, T57A o T57V para eliminar el sitio de glicosilación (Figura 4) y se generó un cuarto cebador directo que contenía la sustitución K60R, para eliminar el residuo de lisina reactiva (Figura 4). Se utilizó un cebador inverso marco 4 en cada una de estas amplificaciones de la PCR. Los productos de la PCR se digirieron con las enzimas Xbal y Apal y se insertaron en pMRR14(544cH) (también se escindieron con Xbal y Apal) para generar plásmidos de expresión que codifican estos mutantes. Las mutaciones N55Q, T57A y T57V cortan el sitio de glicosilación mediante el cambio de la secuencia de aminoácidos fuera del consenso N-X-T/S mientras que la mutación K60R reemplaza la lisina potencialmente reactiva con el residuo de arginina cargado positivamente de forma similar. Los plásmidos de variante cH resultantes se co-transfectaron con el plásmido cL para generar variantes del anticuerpo quimérico expresado.

Evaluación de las actividades de los genes quiméricos

Las actividades de los genes quiméricos se evaluaron después de la transfección transitoria en células CHO.

c) Determinación de las constantes de afinidad por análisis BiaCore.

Las afinidades del 5/44 quimérico o sus variantes, en los que se han eliminado sus sitios de glicosilación o sus lisinas reactivas, se investigaron utilizando tecnología BIA para la unión a construcciones CD22-mFc. Los resultados se presentan en la Figura 8. Todas las medidas de unión se realizaron en el instrumento BIAcore [™] 2000 (Pharmacia Biosensor AB, Uppsala, Sweden). El ensayo se llevó a cabo mediante la captura de CD22mFc a través del Fc antiratón inmovilizado. El anticuerpo estaba en la fase soluble. Se inyectaron las muestras, el patrón, y los controles (50 ul) sobre el Fc anti-ratón inmovilizado seguido por el anticuerpo en la fase soluble. Después de cada ciclo, se regeneró la superficie con 50 ul de HCl 40 mM a 30 ul/min. Se realizó el análisis cinético utilizando el programa informático BIAevaluation 3.1 (Pharmacia).

La eliminación del sitio de glicosilación en la construcción T57A dio como resultado una constante de asociación ligeramente más rápida y una constante de disociación significativamente más lenta en comparación con el 5/44 quimérico, dando una mejora de la afinidad de aproximadamente 5 veces. La mutación N55Q no tuvo ningún efecto sobre la afinidad. Este resultado fue inesperado ya que da a entender que la eliminación del propio carbohidrato aparentemente no tuvo ningún efecto sobre la unión (como con el cambio de N55Q). Se observó mejor afinidad solamente con el cambio de T57A. Una posible explicación es que, a pesar de la presencia de carbohidrato, la treonina en la posición 57 ejerce un efecto negativo sobre la unión que es eliminado en la conversión de treonina a alanina. La hipótesis de que el pequeño tamaño de la alanina es importante, y que el efecto negativo de la treonina está relacionado con su tamaño, se basa en el resultado obtenido utilizando la mutación T57V: el reemplazamiento con valina en la posición 57 no es beneficioso (no se muestran los resultados).

La eliminación de la lisina por la mutación K60R tuvo un efecto neutro sobre la afinidad, esto es, la introducción de arginina elimina un sitio reactivo potencial sin comprometer la afinidad.

Las mutaciones para la eliminación del sitio de glicosilación y para la eliminación de la lisina reactiva fueron por tanto incluidas ambas en el diseño de humanización.

Ejemplo 2

5

10

15

25

30

55

60

65

Injerto de CDR del 5/44

La clonación molecular de genes de las regiones variables de las cadenas pesadas y ligeras del anticuerpo 5/44 y su uso para producir anticuerpos 5/44 quiméricos (de ratón/humano) han sido descritos anteriormente. Las secuencias de nucleótidos y de aminoácidos de los dominios V_L y V_H de 5/44 de ratón se muestran en las figuras 2 y 3 (SEQ ID NOS:7 y 8), respectivamente. Este ejemplo describe el injerto de CDR del anticuerpo 5/44 sobre marcos humanos para reducir la inmunogenicidad potencial en los seres humanos, según el método de Adair *et al.*, (WO91/09967).

Injerto de CDR de la cadena ligera de 5/44

El alineamiento de la secuencia proteínica con las secuencias de consenso de la región V de cadena ligera kappa del sub-grupo I humano indicó una identidad de la secuencia del 64 %. En consecuencia, para construir la cadena ligera injertada con CDR, las regiones marco del aceptor elegidas corresponden a las de la secuencia 012,DPK9 de la línea germinal del sub-grupo I humano VK. La secuencia del marco 4 del aceptor se derivó de la secuencia de la línea germinal de la región J humana JK1.

Una comparación de las secuencias de aminoácidos de las regiones marco de 5/44 murino y la secuencia del aceptor se da en la Figura 5 y muestra que hay 27 diferencias entre las cadenas del donante y del aceptor. En cada posición, se hizo un análisis del potencial del residuo murino para contribuir a la unión al antígeno, ya sea directa o indirectamente, mediante efectos sobre el empaquetado o en la interfase V_n/V_L. Cuando un residuo murino fue considerado importante y suficientemente diferente del residuo humano en términos de tamaño, polaridad o carga, entonces se retuvo dicho residuo murino. Basándose en este análisis, se construyeron dos versiones de la cadena ligera injertada con CDR, que tienen las secuencias dadas en la SEQ ID NO:19 y la SEQ ID NO:20 (Figura 5).

Injerto de CDR de la cadena pesada del 5/44

El injerto de CDR de la cadena pesada del 5/44 se llevó a cabo utilizando la misma estrategia que se ha descrito para la cadena ligera. Se encontró que el dominio V de la cadena pesada del 5/44 era homólogo a las cadenas pesadas humanas que pertenecen al sub-grupo I (70 % de identidad de secuencia) y por tanto se utilizó la secuencia VH1-3,DP7 del marco de la línea germinal del sub-grupo I humano como un marco del aceptor. Las secuencias del marco 4 del aceptor se derivaron de la secuencia de la línea germinal de la región J humana JH4.

Una comparación de la cadena pesada del 5/44 con las regiones marco se muestra en la Figura 6 en la que se puede ver que la cadena pesada de 5/44 difiere de la secuencia del aceptor en 22 posiciones. El análisis de la contribución que cualquiera de éstas puede hacer a la unión del antígeno lleva a 5 versiones de las cadenas pesadas injertadas con CDR a ser construidas, que tienen las secuencias dadas en las SEQ ID NO:23, SEQ ID NO:24, SEQ ID NO:25, SEQ ID NO:26 y SEQ ID NO:27 (Figura 6).

Construcción de genes para secuencias injertadas.

Se diseñaron genes para codificar las secuencias injertadas gH1 y gL1, y se diseñaron y construyeron una serie de oligonucleótidos solapantes (Figura 9). Se empleó una técnica de ensamblaje por la PCR para construir los genes de la región V injertada con CDR. Se prepararon volúmenes de reacción de100 ul que contenían Tris-HCl 10 mM pH 8,3, MgCl2 1,5 mM, KCl 50 mM, gelatina al 0,001 %, cada desoxiribonucleósido-trifosfato a concentración 0,25 mM, 1 pmol de cada uno de los cebadores 'internos' (TI, T2, T3, B1, B2, B3), 10 pmol de cada uno de los cebadores 'externos' (F1, R1), y 1 unidad de Taq polimerasa (AmpliTaq, Applied BioSystems, catalogue no. N808-0171). Los parámetros del ciclo de la PCR fueron 94 °C durante 1 minuto, 55 °C durante 1 minuto y 72 °C durante 1 minuto, durante 30 ciclos. Los productos de reacción se aplicaron entonces a un gel de agarosa al 1,5 %, se separaron y se recuperaron utilizando columnas giratorias QIAGEN (kit de extracción en gel QIAquick, cat no. 28706). El ADN se eluyó

en un volumen de 30 µl. Se clonaron entonces alícuotas (1 µl) del ADN de gH1 y gL1 en el vector de clonación pCR2.1 TOPO de InVitrogen TOPO TA (catálogo no. K4500-01) según las instrucciones del fabricante. Este vector de no expresión sirvió como un intermedio de clonación para facilitar la secuenciación de un gran número de clones. La secuenciación de ADN utilizando cebadores específicos del vector se utilizó para identificar los clones correctos que contienen gH1 y gL1, creando los plásmidos pCR2.1 (544gH1) y pCR2.1 (544gL1) (Figura 10).

Se utilizó un método de reemplazamiento de casete de oligonucleótido para crear los injertos humanizados gH4, 5, 6 y 7, y gL2. La Figura 11 presenta el diseño de las casetes de oligonucleótidos. Para construir cada variante, se cortó el vector (pCR2.1 (544gH1) o pCR2.1(544gL1)) con las enzimas de restricción mostradas (Xmal/SacII para la cadena pesada, Xmal/BstEII para la cadena ligera). El fragmento grande del vector se purificó en gel a partir de agarosa y se utilizó en ligamiento con la casete de oligonucleótido. Estas casetes se componen de 2 oligonucleótidos complementarios (mostrados en la Figura 11), mezclados a una concentración de 0,5 pmol/µI en un volumen de 200 µI de Tris-HCl 12,5 mM pH 7,5, MgCl₂ 2,5 mM, NaCl 25 mM, ditioeritritol 0,25 mM. La hibridación se alcanzó calentando a 95 °C durante 3 minutos en un baño de agua (500 ml de volumen) dejando después que la reacción se enfriara lentamente hasta temperatura ambiente. La casete de oligonucleótido hibridada se diluyó entonces diez veces en agua antes del ligamiento con el vector cortado apropiadamente. La secuenciación del ADN se utilizó para confirmar la secuencia correcta, creando los plásmidos pCR2.1 (5/44-gH4-7) y pCR2.1 (5/44-gL2). Las secuencias injertadas verificadas se subclonaron entonces en los vectores de expresión pMRR14 (cadena pesada) y pMR10.1 (cadena ligera).

Actividad de unión a CD22 de las secuencias injertadas con CDR

Los vectores que codifican las variantes injertadas fueron co-transfectados a células CHO en una variedad de combinaciones, junto con las cadenas del anticuerpo quimérico original. La actividad de unión se comparó en un ensayo de competición, compitiendo la unión del anticuerpo 5/44 original de ratón por la unión a células Ramos (obtenidas de ATCC, una línea celular humana de linfoblastos de linfoma de Burkitt que expresan CD22 en la superficie). Este ensayo se consideró el mejor modo de comparar los injertos en cuanto a su capacidad para unirse a CD22 de la superficie celular. Los resultados se presentan en la Figura 8. Como se puede ver, hay muy poca diferencia entre cualquiera de los injertos, comportándose todos de manera más eficaz que el quimérico en la competición frente al original murino. La introducción de los 3 residuos humanos adicionales en el extremo de CDR-H3 (gH5 y gH7) no parece haber afectado a la unión.

Se seleccionó la combinación de injertos con el menor número de residuos murinos, gL1gH7. El injerto de cadena ligera gL1 tiene 6 residuos del donante. Los residuos V2, V4, L37 y Q45 son potencialmente importantes residuos de empaquetado. El residuo H38 está en la interfase V_H/V_L. El residuo D60 es un residuo de superficie próximo a la CDR-L2 y puede contribuir directamente a la unión del antígeno. De estos residuos, se han encontrado V2, L37, Q45 y D60 en las secuencias de las líneas germinales de los genes kappa humanos procedentes de otros sub-grupos. El injerto de cadena pesada gH7 tiene 4 residuos marco del donante (el residuo R28 se considera parte de CDR-H1 en la definición estructural usada en el injerto de CDR (véase Adair *et al.* (1991 WO91/09967)). Los residuos E1 y A71 son residuos de superficie próximos a las CDR. El residuo 148 es un residuo potencial de empaquetado. El residuo T93 está presente en la interfase V_H/V_L. De estos residuos, E1 y A71 se encuentran en otros genes de las líneas germinales del sub-grupo I humano. El residuo 148 se encuentra en el sub-grupo 4 de la línea germinal humana, y el T73 se encuentra en el sub-grupo 3 de la línea germinal humana.

- Las secuencias completas de ADN y proteína tanto de la cadena ligera como de la cadena pesada, incluyendo la posición aproximada de intrones dentro de los genes de la región constante proporcionados por los vectores, se muestran en la Figura 13 y se dan en las SEQ ID NO:29 y SEQ ID NO:28 respectivamente para la cadena ligera y en las SEQ ID NO: 31 y SEQ ID NO:30 respectivamente para la cadena pesada.
- El ADN que codifica estos genes de cadena ligera y pesada fue eliminado de estos vectores. El ADN de cadena pesada fue digerido en el sitio HindIII de 5', después se trató con el fragmento Klenow de la ADN polimerasa I de *E. coli* para crear un extremo romo en 5'. La escisión en el sitio EcoRI de 3' dio como resultado el fragmento de cadena pesada que se purificó en geles de agarosa. Del mismo modo, se produjo un fragmento de cadena ligera, redondeado en el sitio Sful de 5' y con un sitio EcoRI de 3'. Se clonaron ambos fragmentos en vectores de expresión basados en DHFR y se usaron para generar líneas celulares estables en células CHO.

LISTA DE SECUENCIAS

60 <110> Celltech R&D Limited

<120> PRODUCTOS BIOLÓGICOS

<160> 51

<170> SeqWin99, versión 1.02

65 <210> 1

5

10

15

20

25

30

35

40

<211>5

```
<212> PRT
     <213> ratón
     <220>
     <221> CDR-H1 de 5/44 monoclonal de ratón
 5
     <400> 1
             Asn Tyr Trp Ile His
                                   5
10
     <210> 2
     <211> 17
     <212> PRT
     <213> ratón
     <220>
15
     <221> CDR-H2 de 5/44 monoclonal de ratón
     <900> 2
      Gly Ile Asn Pro Gly Asn Asn Tyr Thr Thr Tyr Lys Arg Asn Leu Lys
                                                     10
                                                                               15
      Gly
20
     <210> 3
     <211> 12
     <212> PRT
     <213> ratón
25
     <221> CDR-H3 de 5/44 monoclonal de ratón
     <400> 3
                 Glu Gly Tyr Gly Asn Tyr Gly Ala Trp Phe Ala Tyr
                                       5
                                                                  10
30
     <210> 4
     <211> 16
     <212> PRT
35
     <213> ratón
     <221> CDR-L1 de 5/44 monoclonal de ratón
     <400> 4
40
          Arg Ser Ser Gln Ser Leu Ala Asn Ser Tyr Gly Asn Thr Phe Leu Ser
                               5
                                                        10
           1
45
     <210> 5
     <211>7
     <212> PRT
     <213> ratón
     <220>
50
     <221> CDR-L2 de 5/44 monoclonal de ratón
     <400> 5
```

```
Gly Ile Ser Asn Arg Phe Ser 1 5
```

```
<210>6
 5
     <211>9
     <212> PRT
     <213> ratón
     <220>
     <221> CDR-L3 de 5/44 monoclonal de ratón
10
     <400>6
                         Leu Gln Gly Thr His Gln Pro Tyr Thr
15
     <210> 7
     <211> 113
     <212> PRT
20
     <213> de ratón
     <220>
     <221> dominio VL de 5/44 monoclonal de ratón
25
     <400> 7
      Asp Val Val Thr Gln Thr Pro Leu Ser Leu Pro Val Ser Phe Gly
                         5
      Asp Gln Val Ser Ile Ser Cys Arg Ser Ser Gln Ser Leu Ala Asn Ser
                                           25
      Tyr Gly Asn Thr Phe Leu Ser Trp Tyr Leu His Lys Pro Gly Gln Ser
                                      40
      Pro Gln Leu Leu Ile Tyr Gly Ile Ser Asn Arg Phe Ser Gly Val Pro
                                  55
      Asp Arg Phe Thr Gly Ser Gly Ser Gly Thr Asp Phe Thr Leu Lys Ile
                             70
                                                    75
      Ser Thr Ile Lys Pro Glu Asp Leu Gly Met Tyr Tyr Cys Leu Gln Gly
      Thr His Gln Pro Tyr Thr Phe Gly Gly Gly Thr Lys Leu Glu Ile Lys
                    100
                                           105
                                                                 110
      Arg
     <210>8
30
     <211> 121
     <212> PRT
     <213> ratón
     <221> dominio VH de 5/44 monoclonal de ratón
```

35

```
Glu Val Gln Leu Gln Gln Ser Gly Thr Val Leu Ala Arg Pro Gly Ala
      Ser Val Lys Met Ser Cys Lys Ala Ser Gly Tyr Arg Phe Thr Asn Tyr
      Trp Ile His Trp Val Lys Gln Arg Pro Gly Gln Gly Leu Glu Trp Ile
      Gly Gly Ile Asn Pro Gly Asn Asn Tyr Thr Thr Tyr Lys Arg Asn Leu
                                                       60
      Lys Gly Lys Ala Thr Leu Thr Ala Val Thr Ser Ala Ser Thr Ala Tyr
                            70
      Met Asp Leu Ser Ser Leu Thr Ser Glu Asp Ser Ala Val Tyr Tyr Cys
      Thr Arg Glu Gly Tyr Gly Asn Tyr Gly Ala Trp Phe Ala Tyr Trp Gly
      Gln Gly Thr Leu Val Thr Val Ser Ser
                                     120
5
     <210>9
     <211> 13
     <212> PRT
    <213> Secuencia artificial
10
    <220>
     <223>
     <220>
     <221> cH
    <400> 9
15
               Gly Asn Asn Tyr Thr Thr Tyr Lys Arg Asn Leu Lys Gly
                                  5
                                                          10
20
    <210> 10
     <211> 13
     <212> PRT
     <213> Secuencia artificial
     <220>
25
    <223>
     <220>
     <221> N55Q
     <400> 10
                 Gly Asn Gln Tyr Thr Thr Tyr Lys Arg Asn Leu Lys Gly
                                   5
                                                          10
30
     <210> 11
     <211> 13
     <212> PRT
35
     <213> Secuencia artificial
```

```
<220>
     <223>
     <220>
     <221> T57A
5
     <400> 11
                  Gly Asn Asn Tyr Ala Thr Tyr Lys Arg Asn Leu Lys Gly
                                      5
                                                              10
     <210> 12
10
     <211> 13
     <212> PRT
     <213> Secuencia artificial
     <220>
15
     <223>
     <220>
     <221> T57V
     <400> 12
20
                 Gly Asn Asn Tyr Val Thr Tyr Lys Arg Asn Leu Lys Gly
                                      5
                                                               10
     <210> 13
25
     <211> 17
     <212> PRT
     <213>
     <220>
     <221> CDR-H2 (T57A) H'
30
     <400> 13
        Gly Ile Asn Pro Gly Asn Asn Tyr Ala Thr Tyr Lys Arg Asn Leu Lys
        1
                            5
                                                    10.
                                                                             15
        Gly
35
     <210> 14
     <211> 13
     <212> PRT
     <213> Secuencia artificial
40
     <220>
     <223>
     <220>
     <221> K60R
     <400> 14
45
              Gly Asn Asn Tyr Thr Thr Tyr Arg Arg Asn Leu Lys Gly
               1
                                    5
                                                               10
50
     <210> 15
     <211> 17
     <212> PRT
     <213>
     <220>
```

```
<221> CDR-H2 (K60R) H"
     <400> 15
          Gly Ile Asn Pro Gly Asn Asn Tyr Thr Thr Tyr Arg Arg Asn Leu Lys
                                                    10
                                                                           15
                            5
          Gly
5
     <210> 16
     <211> 17
10
     <212> PRT
     <213>
     <220>
     <221> CDR-H2 (T57A K60R) H""
15
    <400> 16
           Gly Ile Asn Pro Gly Asn Asn Tyr Ala Thr Tyr Arg Arg Asn Leu Lys
           Gly
20
     <210> 17
     <211> 70
     <212> PRT
     <213> Homo sapiens
     <220>
    <221> DPK9
25
     <400> 17
        Asp Ile Gln Met Thr Gln Ser Pro Ser Ser Leu Ser Ala Ser Val Gly
                                                10
        Asp Arg Val Thr Ile Thr Cys Trp Tyr Gln Gln Lys Pro Gly Lys Ala
        Pro Lys Leu Leu Ile Tyr Gly Val Pro Ser Arg Phe Ser Gly Ser Gly
        Ser Gly Thr Asp Phe Thr Leu Thr Ile Ser Ser Leu Gln Pro Glu Asp
        Phe Ala Thr Tyr Tyr Cys
                               70
30
     <210> 18
     <211> 11
35
     <212> PRT
     <213> Homo sapiens
     <220>
     <221> JK1
     <400> 18
40
```

Phe Gly Gln Gly Thr Lys Val Glu Ile Lys Arg 1 5 10

<210> 19

<211> 113 <212> PRT

```
<213> Secuencia artificial
    <220>
    <223>
10
    <220>
    <221> gL1
    <400> 19
       Asp Val Gln Val Thr Gln Ser Pro Ser Ser Leu Ser Ala Ser Val Gly
       Asp Arg Val Thr Ile Thr Cys Arg Ser Ser Gln Ser Leu Ala Asn Ser
                                         25
       Tyr Gly Asn Thr Phe Leu Ser Trp Tyr Leu His Lys Pro Gly Lys Ala
                                     40
       Pro Gln Leu Leu Ile Tyr Gly Ile Ser Asn Arg Phe Ser Gly Val Pro
                                55
       Asp Arg Phe Ser Gly Ser Gly Ser Gly Thr Asp Phe Thr Leu Thr Ile
                                                 75
       Ser Ser Leu Gln Pro Glu Asp Phe Ala Thr Tyr Tyr Cys Leu Gln Gly
                                             90
       Thr His Gln Pro Tyr Thr Phe Gly Gln Gly Thr Lys Val Glu Ile Lys
                                         105
       Arg
15
    <210> 20
    <211> 113
20
    <212> PRT
    <213> Secuencia artificial
    <220>
    <223>
    <220>
25
    <221> gL2
    <400> 20
      Asp Val Val Val Thr Gln Ser Pro Ser Ser Leu Ser Ala Ser Val Gly
      Asp Arg Val Thr Ile Thr Cys Arg Ser Ser Gln Ser Leu Ala Asn Ser
                        ,
      Tyr Gly Asn Thr Phe Leu Ser Trp Tyr Leu His Lys Pro Gly Lys Ala
                                    40
               35
```

Pro Gln Leu Leu Ile Tyr Gly Ile Ser Asn Arg Phe Ser Gly Val Pro

```
Asp Arg Phe Ser Gly Ser Gly Ser Gly Thr Asp Phe Thr Leu Thr Ile
      Ser Ser Leu Gln Pro Glu Asp Phe Ala Thr Tyr Tyr Cys Leu Gln Gly
                                              90
      Thr His Gln Pro Tyr Thr Phe Gly Gln Gly Thr Lys Val Glu Ile Lys
                                         105
      Arg
     <210> 21
     <211> 80
     <212> PRT
     <213> Homo sapiens
     <220>
     <221> DP7
10
     <400> 21
      Gln Val Gln Leu Val Gln Ser Gly Ala Glu Val Lys Lys Pro Gly Ala
      Ser Val Lys Val Ser Cys Lys Ala Ser Gly Tyr Thr Phe Thr Trp Val
      Arg Gln Ala Pro Gly Gln Gly Leu Glu Trp Met Gly Lys Phe Gln Gly
                                    . 40
      Arg Val Thr Met Thr Arg Asp Thr Ser Thr Ser Thr Val Tyr Met Glu
      Leu Ser Ser Leu Arg Ser Glu Asp Thr Ala Val Tyr Tyr Cys Ala Arg
      65
                             70
                                                   75
                                                                         80
15
     <210> 22
     <211> 11
     <212> PRT
     <213> Homo sapiens
20
     <220>
     <221> JH4
     <400> 22
                     Trp Gly Gln Gly Thr Leu Val Thr Val Ser Ser
                                        5
                     1
                                                               10
25
     <210> 23
     <211> 121
     <212> PRT
     <213> Secuencia artificial
30
     <220>
     <223>
     <220>
```

```
<221> gH1
    <400> 23
      Glu Val Gln Leu Val Gln Ser Gly Ala Glu Val Lys Lys Pro Gly Ala
      Ser Val Lys Val Ser Cys Lys Ala Ser Gly Tyr Arg Phe Thr Asn Tyr
      Trp Ile His Trp Val Arg Gln Ala Pro Gly Gln Gly Leu Glu Trp Ile
      Gly Gly Ile Asn Pro Gly Asn Gln Tyr Thr Thr Tyr Lys Arg Asn Leu
      Lys Gly Arg Ala Thr Leu Thr Ala Asp Thr Ser Thr Ser Thr Val Tyr
      Met Glu Leu Ser Ser Leu Arg Ser Glu Asp Thr Ala Val Tyr Tyr Cys
       Thr Arg Glu Gly Tyr Gly Asn Tyr Gly Ala Trp Phe Ala Tyr Trp Gly
      Gln Gly Thr Leu Val Thr Val Ser Ser
                                    120
               115
5
     <210> 24
    <211> 121
     <212> PRT
    <213> Secuencia artificial
    <220>
    <223>
    <220>
15
    <221> gH4
    <400> 24
```

Glu Val Gln Leu Val Gln Ser Gly Ala Glu Val Lys Lys Pro Gly Ala Ser Val Lys Val Ser Cys Lys Ala Ser Gly Tyr Arg Phe Thr Asn Tyr Trp Ile His Trp Val Arg Gln Ala Pro Gly Gln Gly Leu Glu Trp Ile Gly Gly Ile Asn Pro Gly Asn Asn Tyr Ala Thr Tyr Arg Arg Asn Leu Lys Gly Arg Ala Thr Leu Thr Ala Asp Thr Ser Thr Ser Thr Val Tyr Met Glu Leu Ser Ser Leu Arg Ser Glu Asp Thr Ala Val Tyr Tyr Cys Thr Arg Glu Gly Tyr Gly Asn Tyr Gly Ala Trp Phe Ala Tyr Trp Gly Gln Gly Thr Leu Val Thr Val Ser Ser 115 120 <210> 25 <211> 121 <212> PRT <213> Secuencia artificial <220> <223> <220> <221> gH5 <400> 25 Glu Val Gln Leu Val Gln Ser Gly Ala Glu Val Lys Lys Pro Gly Ala Ser Val Lys Val Ser Cys Lys Ala Ser Gly Tyr Arg Phe Thr Asn Tyr Trp Ile His Trp Val Arg Gln Ala Pro Gly Gln Gly Leu Glu Trp Ile 40 Gly Gly Ile Asn Pro Gly Asn Asn Tyr Ala Thr Tyr Arg Arg Asn Leu Lys Gly Arg Val Thr Met Thr Ala Asp Thr Ser Thr Ser Thr Val Tyr Met Glu Leu Ser Ser Leu Arg Ser Glu Asp Thr Ala Val Tyr Tyr Cys Thr Arg Glu Gly Tyr Gly Asn Tyr Gly Ala Trp Phe Ala Tyr Trp Gly 105 Gln Gly Thr Leu Val Thr Val Ser Ser 115 120

10

```
<210> 26
     <211> 121
     <212> PRT
     <213> Secuencia artificial
     <220>
    <223>
     <220>
     <221> gH6
10
    <400> 26
     Glu Val Gln Leu Val Gln Ser Gly Ala Glu Val Lys Lys Pro Gly Ala
     Ser Val Lys Val Ser Cys Lys Ala Ser Gly Tyr Arg Phe Thr Asn Tyr
     Trp Ile His Trp Val Arg Gln Ala Pro Gly Gln Gly Leu Glu Trp Ile
                                     40
     Gly Gly Ile Asn Pro Gly Asn Asn Tyr Ala Thr Tyr Arg Arg Lys Phe
                                                       60·
      Gln Gly Arg Ala Thr Leu Thr Ala Asp Thr Ser Thr Ser Thr Val Tyr
                            70
      Met Glu Leu Ser Ser Leu Arg Ser Glu Asp Thr Ala Val Tyr Tyr Cys
                       85
                                             90
      Thr Arg Glu Gly Tyr Gly Asn Tyr Gly Ala Trp Phe Ala Tyr Trp Gly
                                         105
      Gln Gly Thr Leu Val Thr Val Ser Ser
               115
                                    120
15
     <210> 27
     <211> 121
     <212> PRT
    <213> Secuencia artificial
20
    <220>
     <223>
    <220>
     <221> gH7
```

<400> 27

Glu Val Gln Leu Val Gln Ser Gly Ala Glu Val Lys Lys Pro Gly Ala 1 5 10 15

Ser Val Lys Val Ser Cys Lys Ala Ser Gly Tyr Arg Phe Thr Asn Tyr 20 25 30

Trp Ile His Trp Val Arg Gln Ala Pro Gly Gln Gly Leu Glu Trp Ile 35 40 45

Gly Gly Ile Asn Pro Gly Asn Asn Tyr Ala Thr Tyr Arg Arg Lys Phe 50 55 60

Gln Gly Arg Val Thr Met Thr Ala Asp Thr Ser Thr Ser Thr Val Tyr 65 70 75 80

Met Glu Leu Ser Ser Leu Arg Ser Glu Asp Thr Ala Val Tyr Tyr Cys 85 90 95

Thr Arg Glu Gly Tyr Gly Asn Tyr Gly Ala Trp Phe Ala Tyr Trp Gly
100 105 110

Gln Gly Thr Leu Val Thr Val Ser Ser 115 120

<210> 28

5 <211> 239

<212> PRT

<213> Secuencia artificial

<220>

<223>

10 <220>

<221> Secuencia completa de cadena ligera injertada

```
Met Lys Leu Pro Val Arg Leu Leu Val Leu Leu Leu Phe Trp Ile Pro
                                      10
 Ala Ser Arg Gly Asp Val Gln Val Thr Gln Ser Pro Ser Ser Leu Ser
                                  25
 Ala Ser Val Gly Asp Arg Val Thr Ile Thr Cys Arg Ser Ser Gln Ser
 Leu Ala Asn Ser Tyr Gly Asn Thr Phe Leu Ser Trp Tyr Leu His Lys
 Pro Gly Lys Ala Pro Gln Leu Leu Ile Tyr Gly Ile Ser Asn Arg Phe
 Ser Gly Val Pro Asp Arg Phe Ser Gly Ser Gly Ser Gly Thr Asp Phe
 Thr Leu Thr Ile Ser Ser Leu Gln Pro Glu Asp Phe Ala Thr Tyr Tyr
              100
                                  105
                                                       110
 Cys Leu Gln Gly Thr His Gln Pro Tyr Thr Phe Gly Gln Gly Thr Lys
 Val Glu Ile Lys Arg Thr Val Ala Ala Pro Ser Val Phe Ile Phe Pro
                          135
 Pro Ser Asp Glu Gln Leu Lys Ser Gly Thr Ala Ser Val Val Cys Leu
                      150
                                          155
 Leu Asn Asn Phe Tyr Pro Arg Glu Ala Lys Val Gln Trp Lys Val Asp
 Asn Ala Leu Gln Ser Gly Asn Ser Gln Glu Ser Val Thr Glu Gln Asp
             180
                                  185
 Ser Lys Asp Ser Thr Tyr Ser Leu Ser Ser Thr Leu Thr Leu Ser Lys
                              200
 Ala Asp Tyr Glu Lys His Lys Val Tyr Ala Cys Glu Val Thr His Gln
                          215
                                              220
 Gly Leu Ser Pro Val Thr Lys Ser Phe Asn Arg Gly Glu Cys
 225
                      230
<210> 29
<211> 781
<212> ADN
<213>
<220>
```

<221> Secuencia completa de ADN de cadena ligera injertada

5

10

```
ttcgaagccg ccaccatgaa gttgcctgtt aggctgttgg tgcttctgtt gttctggatt
                                                                     60
cetgettece ggggtgacgt teaagtgace cagageecat ecageetgag egeatetgta
                                                                     120
ggagaccggg tcaccatcac ttgtagatcc agtcagagtc ttgcaaacag ttatgggaac
                                                                     180
acctttttgt cttggtatct gcacaaacca ggtaaagccc cacaattgct catctacgga
                                                                     240
atetetaaca gatttagtgg tgtaccagac aggttcageg gttceggaag tggtactgat
                                                                     300
ttcaccctca cgatctcgtc tctccagcca gaagatttcg ccacttatta ctgtttacaa
                                                                     360
ggtacacatc agccgtacac attcggtcag ggtactaaag tagaaatcaa acgtacggta
                                                                     420
geggeeccat etgtetteat etteeegeea tetgatgage agttgaaate tggaaetgee
                                                                     480
tetgttgtgt geetgetgaa taaettetat eecagagagg eeaaagtaca gtggaaggtg
                                                                     540
gataacgccc tccaatcggg taactcccag gagagtgtca cagagcagga cagcaaggac
                                                                     600
agcacctaca gcctcagcag caccctgacg ctgagcaaag cagactacga gaaacacaaa
                                                                     660
gtctacgcct gcgaagtcac ccatcagggc ctgagctcgc ccgtcacaaa gagcttcaac
                                                                     720
                                                                     780
aggggagagt gttagaggga gaagtgeece caectgetee teagtteeag cetgggaatt
                                                                     781
```

<210> 30

5 <211> 467

<212> PRT

<213> Secuencia artificial

<220>

<223>

10 <220>

<221> Secuencia completa de cadena pesada injertada

Met Asp Phe Gly Phe Ser Leu Val Phe Leu Ala Leu Ile Leu Lys Gly 5 Val Gln Cys Glu Val Gln Leu Val Gln Ser Gly Ala Glu Val Lys Lys 25 Pro Gly Ala Ser Val Lys Val Ser Cys Lys Ala Ser Gly Tyr Arg Phe Thr Asn Tyr Trp Ile His Trp Val Arg Gln Ala Pro Gly Gln Gly Leu Glu Trp Ile Gly Gly Ile Asn Pro Gly Asn Asn Tyr Ala Thr Tyr Arg Arg Lys Phe Gln Gly Arg Val Thr Met Thr Ala Asp Thr Ser Thr Ser Thr Val Tyr Met Glu Leu Ser Ser Leu Arg Ser Glu Asp Thr Ala Val 105 Tyr Tyr Cys Thr Arg Glu Gly Tyr Gly Asn Tyr Gly Ala Trp Phe Ala 115 Tyr Trp Gly Gln Gly Thr Leu Val Thr Val Ser Ser Ala Ser Thr Lys 135 140 Gly Pro Ser Val Phe Pro Leu Ala Pro Cys Ser Arg Ser Thr Ser Glu 150 155 Ser Thr Ala Ala Leu Gly Cys Leu Val Lys Asp Tyr Phe Pro Glu Pro 165 170 Val Thr Val Ser Trp Asn Ser Gly Ala Leu Thr Ser Gly Val His Thr 185 Phe Pro Ala Val Leu Gln Ser Ser Gly Leu Tyr Ser Leu Ser Ser Val 195 Val Thr Val Pro Ser Ser Ser Leu Gly Thr Lys Thr Tyr Thr Cys Asn 210 215 220

```
Val Asp His Lys Pro Ser Asn Thr Lys Val Asp Lys Arg Val Glu Ser
                      230
 Lys Tyr Gly Pro Pro Cys Pro Pro Cys Pro Ala Pro Glu Phe Leu Gly
                                       250
 Gly Pro Ser Val Phe Leu Phe Pro Pro Lys Pro Lys Asp Thr Leu Met
 Ile Ser Arg Thr Pro Glu Val Thr Cys Val Val Val Asp Val Ser Gln
                               280
 Glu Asp Pro Glu Val Gln Phe Asn Trp Tyr Val Asp Gly Val Glu Val
                          295
 His Asn Ala Lys Thr Lys Pro Arg Glu Glu Gln Phe Asn Ser Thr Tyr
                                           315
                      310
 Arg Val Val Ser Val Leu Thr Val Leu His Gln Asp Trp Leu Asn Gly
                                       330
 Lys Glu Tyr Lys Cys Lys Val Ser Asn Lys Gly Leu Pro Ser Ser Ile
              340
                                   345
 Glu Lys Thr Ile Ser Lys Ala Lys Gly Gln Pro Arg Glu Pro Gln Val
          355
                               360
                                                    365
 Tyr Thr Leu Pro Pro Ser Gln Glu Glu Met Thr Lys Asn Gln Val Ser
                          375
 Leu Thr Cys Leu Val Lys Gly Phe Tyr Pro Ser Asp Ile Ala Val Glu
                                           395
                      390
 Trp Glu Ser Asn Gly Gln Pro Glu Asn Asn Tyr Lys Thr Thr Pro Pro
 Val Leu Asp Ser Asp Gly Ser Phe Phe Leu Tyr Ser Arg Leu Thr Val
                                   425 .
 Asp Lys Ser Arg Trp Gln Glu Gly Asn Val Phe Ser Cys Ser Val Met
          435
                               440
                                                    445
 His Glu Ala Leu His Asn His Tyr Thr Gln Lys Ser Leu Ser Leu Ser
     450
                           455
                                                460
 Leu Gly Lys
 465
<210> 31
<211> 2160
<212> ADN
<213> Secuencia artificial
<220>
<223>
<220>
<221> Secuencia completa de ADN de cadena pesada injertada
```

10

aagettgeeg ceaceatgga etteggatte tetetegtgt teetggeact catteteaag

```
120
      qqaqtqcagt gtgaqgtqca attggtccag tcaggagcag aggttaagaa gcctggtgct
      tccgtcaaag tttcgtgtaa ggctagcggc tacaggttca caaattattg gattcattgg
                                                                            180
                                                                            240
      gtcaggcagg ctccgggaca aggcctggaa tggatcggtg gcattaatcc cgggaataac
      tacqctacat ataqqaqaaa attccaqgqc aqaqttacqa tgaccqcgga cacctccaca
                                                                            300
                                                                            360
      agcactgtct acatggagct gtcatctctg agatccgagg acaccgcagt gtactattgt
                                                                           . 420
      actaqaqaaq qctacqqtaa ttacqqaqcc tggttcgcct actggggcca gggtacccta
      gtcacagtct cctcagcttc tacaaagggc ccatccgtct tccccctggc gccctgctcc
                                                                            480
                                                                            540
      aggageacct ccgagageac agecgecetg ggetgeetgg teaaggaeta etteccegaa
      ccggtgacgg tgtcgtggaa ctcaggcgcc ctgaccagcg gcgtgcacac cttcccggct
                                                                            600
                                                                            660
      gtcctacagt cctcaggact ctactccctc agcagcgtgg tgaccgtgcc ctccagcagc
                                                                            720
      ttqqqcacqa aqacctacac ctgcaacgta gatcacaagc ccagcaacac caaggtggac
      aagagagttg gtgagaggcc agcacaggga gggagggtgt ctgctggaag ccaggctcag
                                                                            780
      ccctcctgcc tggacgcacc ccggctgtgc agccccagcc cagggcagca aggcatgccc
                                                                            840
      catctgtctc ctcacccgga ggcctctgac caccccactc atgcccaggg agagggtctt
                                                                            900
                                                                            960
      ctggattttt ccaccagget ccgggcagec acaggetgga tgcccctacc ccaggecetg
                                                                            1020
      cgcatacagg ggcaggtgct gcgctcagac ctgccaagag ccatatccgg gaggaccctg
      cccctgacct aagcccaccc caaaggccaa actctccact ccctcagctc agacaccttc
                                                                            1080
      tctcctccca gatctgagta actcccaatc ttctctctgc agagtccaaa tatggtcccc
                                                                            1140
      catgcccacc atgcccaggt aagccaaccc aggcctcgcc ctccagctca aggcgggaca
                                                                            1200
      ggtgccctag agtagcctgc atccagggac aggccccagc cgggtgctga cgcatccacc
                                                                            1260
      tocatotott cotcagoaco tgagttoctg gggggaccat cagtottoct gttoccocca
                                                                            1320
      aaacccaagg acactctcat gatctcccgg acccctgagg tcacgtgcgt ggtggtggac
                                                                            1380
      gtgagccagg aagaccccga ggtccagttc aactggtacg tggatggcgt ggaggtgcat
                                                                            1440
                                                                            1500
      aatqccaaqa caaaqccqcq qqaqqaqcaq ttcaacaqca cgtaccqtqt ggtcaqcqtc
      ctcaccgtcc tgcaccagga ctggctgaac ggcaaggagt acaagtgcaa ggtctccaac
                                                                            1560
      aaaggeetee egteeteeat egagaaaace ateteeaaag eeaaaggtgg gacceaeggg
                                                                            1620
      gtgcgagggc cacatggaca gaggtcagct cggcccaccc tctgccctgg gagtgaccgc
                                                                            1680
                                                                            1740
      tqtqccaacc tctqtcccta cagggcagcc ccgagagcca caggtgtaca ccctgccccc
                                                                            1800
      atcccaggag gagatgacca agaaccaggt cagcctgacc tgcctggtca aaggcttcta
      ccccagcgac atcgccgtgg agtgggagag caatgggcag ccggagaaca actacaagac
                                                                            1860
      cacgcctccc gtgctggact ccgacggctc cttcttcctc tacagcaggc taaccgtgga
                                                                            1920
                                                                            1980
      caaqaqcaqq tqqcaqqaqq qgaatgtctt ctcatgctcc gtgatgcatg aggctctgca
                                                                            2040
      caaccactac acacagaaga gcctctccct gtctctgggt aaatgagtgc cagggccggc
                                                                            2100
      aaqcccccqc tccccqgqct ctcqqqqtcq cqcqaqqatq cttqqcacqt accccqtcta
      catacttccc aggcacccag catggaaata aagcacccac cactgccctg gctcgaattc
                                                                            2160
     <210> 32
     <211>94
     <212> ADN
     <213> Secuencia artificial
     <220>
     <223>
10
     <220>
     <221> 544aH1 T1
     <400> 32
      agtgtgaggt gcaattggtc cagtcaggag cagaggttaa gaagcctggt gcttccgtca
                                                                              60
                                                                              94
      aagtttcgtg taaggctagc ggctacaggt tcac
15
     <210> 33
     <211>96
     <212> ADN
20
     <213> Secuencia artificial
     <220>
     <223>
     <220>
     <221> 544gH1 T2
25
     <400> 33
```

	gtggcattaa tcccgggaat cagtacact cgctgaccgc ggacacctcc acaagcact		aaatctaaag	ggcagagcaa	60 96
5	<210> 34 <211> 95 <212> ADN <213> Secuencia artificial <220> <223> <220> <221> 544gH1 T3				
10	<400> 34				
15	agagaaggct acggtaatta cggagcctg acagtctcct cagcttctac aaagggcco	g ttcgcctact a agaaa	ggggccaggc	g taccctagtc	60 95
20	<210> 35 <211> 94 <212> ADN <213> Secuencia artificial <220> <223> <220>				
25	<221> 544 gH1 B1 <400> 35				
	ggaccaattg cacctcacac tgcactccoatccgaagtc catggtggcg gcaagctt	et tgagaatga et attc	g tgccaggaad	c a <u>cgagagaga</u>	60 94
30	<210> 36 <211> 97 <212> ADN				
35	<213> Secuencia artificial <220> <223> <220> <221> 544gH1 B2				
40	<400> 36				
	gatteceggg attaatgeca eegateeat aatgaateea ataatttgtg aacetgtag		g teceggaged	tgcctgaccc	60 97
45	<210> 37 <211> 93 <212> ADN <213> Secuencia artificial				
50	<220> <223> <220> <221> 549gH1 B3				
55	<4.00> 37				
55	cgtaattacc gtagecttet etagtacaa atgacagete catgtagaca gtgettgtg		ggtgtcctcg	gatctcagag	60 93

```
<210> 38
      <211> 21
      <212> ADN
     <213> Secuencia artificial
 5
     <220>
     <223>
     <220>
     <221> 544gH1 F1
10
     <400> 38
           gaataaaagc ttggcgccac c
                                         21
     <210>39
15
     <211> 22
     <212> ADN
     <213> Secuencia artificial
      <220>
     <223>
     <220>
20
     <221> 544gH1 R1
     <400> 39
25
           tttcttgggc cctttgtaga ag
                                         22
     <210>40
      <211>87
      <212> ADN
30
     <213> Secuencia artificial
     <220>
     <223>
     <220>
     <221> 544 gL1 T1
35
     <400> 40
      getteeeggg gtgaegttea agtgaeecag ageceateea geetgagege atetgtagga
                                                                                           60
      gaccgggtca ccatcacttg tagatcc
                                                                                           87
40
     <210>41
      <211>90
     <212> ADN
     <213> Secuencia artificial
45
     <220>
     <223>
     <220>
     <221> 544 gL1 T2
50
     <400> 41
      tatctgcaca aaccaggtaa agccccacaa ttgctcatct acggaatctc taacagattt
                                                                                           60
                                                                                           90
       agtggtgtac cagacaggtt cagcggttcc
55
     <210> 42
     <211>91
     <212> ADN
     <213> Secuencia artificial
60
     <220>
     <223>
      <220>
     <221> 544gL1 T3
```

	<400> 42						
5	-		gtttacaagg gtacggcgtg	_	ccgtacacat	teggteaggg	60 91
10	<210> 43 <211> 88 <212> ADN <213> <220> <221> 544gL1 E	31					
15		ccgggaagca ggcggcttcg	ggaatccaga aatcatcc	acaacagaag	caccaacagc	ctaacaggca	60 88
20 25	<210> 44 <211> 88 <212> ADN <213> Secuenci <220> <223> <220> <221> 544gL1 E						
30	<400>44		taccaagaca atggtgac	aaaaggtgtt	cccataactg	tttgcaagac	60 88
35	<210> 45 <211> 90 <212> ADN <213> Secuenci <220> <223> <220>						
40	<221> 544gL1 E <400> 45		tallat mate	~~~~~	~~* ~~* ~~	ah	60
45		ggaaccgctg	tettetgget aacetgtetg	ggagagacga	gattgtgagg	gigaaaicag	60 90
50	<210> 46 <211> 20 <212> ADN <213> Secuenci <220> <223> <220> <221> 544gL1 F						
55	<400> 46						
	ggatgatto	g aagccgccac	20				

```
<210>47
     <211> 21
     <212> ADN
     <213>
     <220>
     <221> 544gL1 R1
     <400> 47
10
          gcacgccgta cgtttgattt c
                                      21
     <210> 48
     <211> 339
15
     <212> ADN
     <213> ratón
     <221> Secuencia del ADN de VL de 5/44 monoclonal de ratón
     <400> 48
20
                                                                                   60
      gatgttgtgg tgactcaaac tccactctcc ctgcctgtca gctttggaga tcaagtttct
      atctcttgca ggtctagtca gagtcttgca aacagttatg ggaacacctt tttgtcttgg
                                                                                   120
      tacctgcaca agcctggcca gtctccacag ctcctcatct atgggatttc caacagattt
                                                                                   180
      tctggggtgc cagacaggtt cactggcagt ggttcaggga cagatttcac actcaagatc
                                                                                   240
      agcacaataa agcctgagga cttgggaatg tattactgct tacaaggtac acatcagccg
                                                                                   300
                                                                                   339
      tacacgttcg gagggggac caagctggaa ataaaacgt
     <210>49
25
     <211> 363
     <212> ADN
     <213> ratón
     <220>
30
     <221> Secuencia del ADN de VH de 5/44 monoclonal de ratón
     <400> 49
                                                                                   60
      gaggtccaac tgcagcagtc tgggactgta ctggcaaggc ctggggcttc cgtgaagatg
                                                                                  120
       tectgcaagg cttetggeta caggtttace aactactgga tteactgggt aaaacagagg
                                                                                  180
       cctgggcagg gtctagaatg gattggtggt attaatcctg gaaataatta tactacgtat
                                                                                  240
       aaqaqqaact tgaaqqqcaa ggccacactg actgcagtca catccgccag cactgcctac
                                                                                   300
       atggacetea geageetgae aagtgaggae tetgeggtet attactgtae aagagaggge
                                                                                  360
       tatggtaact acggggcctg gtttgcttac tggggccagg ggactctggt caccgtctcc
                                                                                   363
35
     <210> 50
     <211>9
     <212> ADN
     <213> Secuencia artificial
40
     <223> Secuencia dentro del cebador oligonucleótido
     <400> 50
45
                                      9
           gccgccacc
     <210> 51
50
     <211> 101
     <212> ADN
     <213> Secuencia artificial
     <220>
```

	<223> Cebador oligonucleótido 5'						
	<400> 51						
5			55	ggattctctc gtcgagtctg		ggcactcatt	60 101

REIVINDICACIONES

1. Una molécula de anticuerpo que tiene especificidad para el CD22 humano, que comprende una cadena pesada en la que el dominio variable comprende la SEQ ID NO:1 para CDR-H1, la secuencia GINPGNNYATYRRKFQG de gH7 de la Figura 6 o la SEQ ID NO: 2 o la SEQ ID NO:13 o la SEQ ID NO:15 o la SEQ ID NO:16 para CDR-H2, y la SEQ ID NO:3 para CDR-H3, y una cadena ligera en la que el dominio variable comprende la SEQ ID NO:4 para CDR-L1, la SEQ ID NO:5 para CDR-L2 y la SEQ ID NO:6 para CDR-L3.

5

20

25

30

45

- 2. La molécula de anticuerpo según la reivindicación 1, que comprende la secuencia 10 GINPGNNYATYRRKFQG de gH7 de la Figura 6 para CDR-H2.
 - 3. La molécula de anticuerpo de una cualquiera de las reivindicaciones 1 a 2, que es una molécula de anticuerpo injertada con CDR.
- 4. La molécula de anticuerpo de la reivindicación 3, en la que el dominio variable comprende regiones marco del aceptor humano y las CDR del donante no humano.
 - 5. La molécula de anticuerpo de la reivindicación 4, en la que las regiones marco del aceptor humano del dominio variable de la cadena pesada se basan en las SEQ ID NOs: 21 y 22 y comprenden residuos del donante en las posiciones 1, 28, 48, 71 y 93, numeradas según Kabat, que corresponden a los residuos 1, 28, 48, 72 y 97, respectivamente, en la SEQ ID NO:8.
 - 6. La molécula de anticuerpo de la reivindicación 5, que comprende adicionalmente residuos del donante en las posiciones 67 y 69, numeradas según Kabat, que corresponden a los residuos 68 y 70, respectivamente, en la SEQ ID NO:8.
 - 7. La molécula de anticuerpo de una cualquiera de las reivindicaciones 4 a 6, en la que las regiones marco del aceptor humano del dominio variable de la cadena ligera se basan en las SEQ ID NOs: 17 y 18 y comprenden residuos del donante en las posiciones 2, 4, 37, 38, 45 y 60, numeradas según Kabat, que corresponden a los residuos 2, 4, 42, 43, 50 y 65, respectivamente, en la SEQ ID NO:7.
 - 8. La molécula de anticuerpo de la reivindicación 7, que comprende adicionalmente un residuo del donante en la posición 3, numerada según Kabat, que corresponde al residuo en dicha posición en la SEQ ID NO:7.
- 9. Una molécula de anticuerpo que tiene especificidad para el CD22 humano, que comprende una cadena pesada según la reivindicación 5 o la reivindicación 6, y una cadena ligera según la reivindicación 7 o la reivindicación 8.
- 10. La molécula de anticuerpo de una cualquiera de las reivindicaciones 1 a 9, que comprende la SEQ ID
 40 NO:19 (la región variable de cadena ligera 5/44-gL1) y la SEQ ID NO:27 (la región variable de cadena pesada 5/44-gH7).
 - 11. Una molécula de anticuerpo que tiene especificidad para el CD22 humano, que tiene una cadena ligera que comprende la secuencia dada en la SEQ ID NO:28 y una cadena pesada que comprende la secuencia dada en la SEQ ID NO:30.
 - 12. Una molécula de anticuerpo que tiene especificidad para el CD22 humano, que tiene una cadena ligera que consiste en la secuencia dada en la SEQ ID NO:28 y una cadena pesada que consiste en la secuencia dada en la SEQ ID NO:30.
 - 13. El anticuerpo de la reivindicación 1, que es un anticuerpo monoclonal anti-CD22 murino 5/44, en el que el dominio variable de la cadena ligera tiene la secuencia dada en la SEQ ID NO: 7 y el dominio variable de la cadena pesada tiene la secuencia dada en la SEQ ID NO: 8.
- 14. La molécula de anticuerpo de la reivindicación 1, que es una molécula de anticuerpo quimérico que comprende las secuencias de los dominios variables de la cadena ligera y de la cadena pesada del anticuerpo monoclonal de la reivindicación 18, citados en la SEQ ID NO:7 y en la SEQ ID NO:8 respectivamente.
- 15. Una secuencia de ADN que codifica la cadena pesada de una molécula de anticuerpo según una cualquiera de las reivindicaciones 1 a 14.
 - 16. Una secuencia de ADN que codifica la cadena ligera de una molécula de anticuerpo según una cualquiera de las reivindicaciones 1 a 14.
- 17. Una secuencia de ADN que codifica la cadena pesada y la cadena ligera de una molécula de anticuerpo según una cualquiera de las reivindicaciones 1 a 14.

- 18. Un vector de clonación o de expresión que comprende una secuencia de ADN según una cualquiera de las reivindicaciones 15 a 17.
- 19. Una célula hospedante que comprende un vector de clonación o de expresión según la reivindicación 18.
- 20. La molécula de anticuerpo de una cualquiera de las reivindicaciones 1 a 14, o una secuencia de ADN según una cualquiera de las reivindicaciones 15 a 17, para uso en terapia.
- 21. La molécula de anticuerpo de una cualquiera de las reivindicaciones 1 a 14 o 20, que tiene especificidad para el CD22 humano, o una secuencia de ADN según una cualquiera de las reivindicaciones 15 a 17 o 20, para uso en el tratamiento de una patología mediada por células que expresan CD22.
- 15 22. La molécula de anticuerpo de una cualquiera de las reivindicaciones 1 a 14, 20 o 21, o una secuencia de ADN según una cualquiera de las reivindicaciones 15 a 17, 20 o 21, para uso en el tratamiento de un linfoma maligno.
- 23. La molécula de anticuerpo o la secuencia de ADN de la reivindicación 22, en la que el linfoma maligno es linfoma no Hodgkin.
 - 24. El uso de la molécula de anticuerpo de una cualquiera de las reivindicaciones 1 a 14, que tiene especificidad para el CD22 humano, o el uso de una secuencia de ADN según una cualquiera de las reivindicaciones 15 a 17, en la fabricación de un medicamento para el tratamiento de una patología mediada por células que expresan CD22.
 - 25. El uso de la reivindicación 24, en el que la patología es un linfoma maligno.
 - 26. El uso de la reivindicación 25, en el que el linfoma maligno es un linfoma no Hodgkin.
 - 27. Una composición terapéutica o para diagnóstico, que comprende la molécula de anticuerpo de una cualquiera de las reivindicaciones 1 a 14, o la secuencia de ADN de una cualquiera de las reivindicaciones 15 a 17.
 - 28. Una composición terapéutica que comprende la molécula de anticuerpo de una cualquiera de las reivindicaciones 1 a 14 donde la molécula de anticuerpo tiene una toxina unida a la misma mediante una estructura de puente covalente, y que comprende un excipiente, diluyente o vehículo farmacéuticamente aceptable.
 - 29. Una composición terapéutica o para diagnóstico según la reivindicación 27, que comprende adicionalmente anticuerpos anti-células T, anti-IFNγ o anti-LPS, o ingredientes no anticuerpos tales como las xantinas.
 - 30. Un procedimiento para la producción de una molécula de anticuerpo según una cualquiera de las reivindicaciones 1 a 14, que comprende el cultivo de una célula hospedante según la reivindicación 19, en condiciones adecuadas para llevar a la expresión de una proteína a partir de ADN que codifica dicha molécula de anticuerpo y al aislamiento de dicha molécula de anticuerpo.
 - 31. Un procedimiento para la preparación de una composición terapéutica o para diagnóstico según una cualquiera de las reivindicaciones 27 a 29, que comprende la mezcla de una molécula de anticuerpo según una cualquiera de las reivindicaciones 1 a 14, junto con un excipiente, diluyente o vehículo farmacéuticamente aceptable.

50

5

10

25

30

35

40

Figura 1: Secuencia de las CDR del anticuerpo monoclonal de ratón 5/44

Н1	NYWIH	(SEQ ID NO:1)
Н2	GINPGNNYTTYKRNLKG	(SEQ ID NO:2)
Н3	EGYGNYGAWFAY	(SEQ ID NO:3)
L1	RSSQSLANSYGNTFLS	(SEQ ID NO:4)
L2	GISNRFS	(SEQ ID NO:5)
L3	LQGTHQPYT	(SEQ ID NO:6)

Figura 2: Secuencia de ADN/Proteína de $5/44 V_L$

	10							30				40				50			
GAT	GTT	GTG	GTG	ACT	CAA	ACT	CCA	CTC	TCC	CTG	CCT	GTC	AGC	TTT	GGA	GAT	CAA	GTT	
CTA	CAA	CAC	CAC	TGA	GTT	TGA	GGT	GAG	AGG	GAC	GGA	CAG	TCG	AAA	CCT	СТА	GTT	CAA	
D	ν	٧	V	Т	Q	T	P	\mathbf{L}	S	\mathbf{L}	Þ	v	s	F	G	D	Q	V>	
60			•	70			80			90			1	00			110		
TCT	ATC	TCT	TGC	AGG	TCT	AGT	ÇAG	AGT	CTT	GCA	AAC	agt	TAT	GGG	AAC	ACC	TTT	TTG	
AGA	TAG	AGA	ACG	TCC	AGA	TCA	GTC	TCA	GAA	CGT	TTG	TCA	ATA	CCC	TTG	TGG	AAA	AAC	
\$	I	s	С	R	S	S	Q	S	L	A	N	S	Y	G	N	T	F	L>	
	120				30			L40			150				60			170	
			CTG																
AGA		ATG	GAC														TAA	AGG	
S	W	Y	L	Н	K	P	G	Q	S	₽	Q	L	L	I	Y	G	I	\$>	
		180	m.cm	666		90	C2.C		200	n.cm	***	210	cc#	mon.		20	C N III	mme	
		TTT	TCT		GTG	CCA		AGG	TTC			AGT			GGG	ACA			
TTG	TCT	TTT AAA	AGA	ccc	GTG CAC	CCA	CTG	AGG TCC	TTC AAG	TGA	CCG	AGT TCA	CCA	AGT	GGG	aca TGT	CTA	AAG	
		TTT			GTG	CCA		AGG	TTC			AGT			GGG	ACA			
TTG 'N	TCT	TTT AAA	AGA S	ccc	GTG CAC	CCA GGT	CTG D	AGG TCC	TTC AAG F	TGA T	CCG	AGT TCA	CCA	AGT	GGG	ACA TGT T	CTA	AAG	
TTG N 230	TCT R	TTT AAA F	AGA S 240	ccc G	GTG CAC V	CCA GGT P	CTG D	AGG TCC R	TTC AAG F	TGA T	CCG G	AGT TCA S	CCA G 270	AGT S	GGG CCC	ACA TGT T	CTA D	AAG F>	
TTG N 230 ACA	TCT R CTC	TTT AAA F AAG	AGA S	CCC G AGC	GTG CAC V	CCA GGT P 25	CTG D 50 AAG	AGG TCC R	TTC AAG F	TGA T 260 GAC	CCG G TTG	AGT TCA S	CCA G 270 ATG	AGT S TAT	GGG CCC G	ACA TGT T	CTA D 30 TTA	AAG F> CAA	
TTG N 230 ACA	TCT R CTC	TTT AAA F AAG	AGA S 240 ATC	CCC G AGC	GTG CAC V	CCA GGT P 25	CTG D 50 AAG	AGG TCC R	TTC AAG F	TGA T 260 GAC	CCG G TTG	AGT TCA S	CCA G 270 ATG	AGT S TAT	GGG CCC G	ACA TGT T	CTA D 30 TTA	AAG F> CAA	
TTG N 230 ACA TGT	TCT R CTC GAG	TTT AAA F AAG TTC	AGA S 240 ATC TAG	CCC G AGC TCG	GTG CAC V ACA TGT	CCA GGT P 25 ATA TAT	D D 50 AAG TTC	AGG TCC R CCT GGA	TTC AAG F GAG CTC	TGA T 260 GAC CTG	CCG G TTG AAC	AGT TCA S GGA CCT	CCA G 270 ATG TAC	AGT S TAT ATA	GGG CCC G TAC ATG	ACA TGT T 28 TGC ACG	CTA D 80 TTA AAT	AAG F> CAA GTT	
TTG N 230 ACA TGT T	TCT R CTC GAG	TTT AAA F AAG TTC	AGA S 240 ATC TAG	CCC G AGC TCG	GTG CAC V ACA TGT	CCA GGT P 25 ATA TAT	D D 50 AAG TTC	AGG TCC R CCT GGA P	TTC AAG F GAG CTC	TGA T 260 GAC CTG D	CCG G TTG AAC	AGT TCA S GGA CCT	CCA G 270 ATG TAC	AGT S TAT ATA	GGG CCC G TAC ATG	ACA TGT T 28 TGC ACG	CTA D 80 TTA AAT	AAG F> CAA GTT	
TTG N 230 ACA TGT T	TCT R CTC GAG L	TTT AAA F AAG TTC K	AGA S 240 ATC TAG	CCC G AGC TCG S	GTG CAC V ACA TGT	CCA GGT P 25 ATA TAT	CTG D 00 AAG TTC K	AGG TCC R CCT GGA P	TTC AAG F GAG CTC E	TGA T 260 GAC CTG	CCG G TTG AAC L	AGT TCA S GGA CCT G	CCA G 270 ATG TAC M	AGT S TAT ATA Y	GGG CCC G TAC ATG Y	ACA TGT T 28 TGC ACG C	D O TTA AAT L	AAG F> CAA GTT Q>	
TTG N 230 ACA TGT T	TCT R CTC GAG L	TTT AAA F AAG TTC K CAT	AGA S 240 ATC TAG I	CCC G AGC TCG S 300 CCG	GTG CAC V ACA TGT T	CCA GGT P 25 ATA TAT I	D AAG TTC K TTC	AGG TCC R CCT GGA P	TTC AAG F GAG CTC E	TGA T 260 GAC CTG D	CCG G TTG AAC L	AGT TCA S GGA CCT G	CCA G 270 ATG TAC M	AGT S TAT ATA Y 330 GAA	GGG CCC G TAC ATG Y	ACA TGT T 28 TGC ACG C	D O TTA AAT L CGT	AAG F> CAA GTT Q>	

Figura 3: Secuencia de ADN/Proteína de $5/44 V_H$

			10			20			30			40				50			
GAG	GTC	CAA	CTG	CAG	CAG	TCT	GGG	ACT	GTA	CTG	GCA	AGG	CCT	GGG	GCT	TCC	GTG	AAG	
CTC	CAG	GTT	GAC	GTC	GTC	AGA	`ccc	TGA	CAT	GAC	CGT	TCC	GGA	ccc	CGA	AGG	CAC	TTC	
E	v	Q	L	Q	Q	S	G	T	٧	L	Α	R	P	G	A	S	v	K>	
60	0 70						80 90						1	00		110			
ATG	TCC	TGC	AAG	GCT	TCT	GGC	TAC	AGG	TTT	ACC	AAC	TAC	TGG	ATT	CAC	TGG	GTA	AAA	
TAC	AGG	ACG	TTC	CGA	AGA	CCG	ATG	TCC	AAA	TGG	TTG	ATG	ACC	TAA	GTG	ACC	CAT	TTT	
М	s	С	K	Α	S	G	Y	R	F	T	N	Y	W	I	Н	W	V	K>	
	120			1.	30			140			150			1	60		3	170	
CAG	AGG	CCT	GGĢ	CAG	GGT	CTA	GAA	TGG	ATT	GGT	GGT	ATT	AAT	CCT	GGA	AAT	AAT	TAT	
GTC	TCC	GGA	CCC	GTC	CCA	GAT	CTT	ACC	TAA	CCA	CCA	TAA	ATT	GGA	CCT	TTA	TTA	ATA	
Q	R	P	G	Q	G	L	E	M	1	G	G	J.	N	P	Ģ	И	Ŋ	Y>	
		180			19							210			22				
																	TCC		
TGA	TGC	ATA	TTC	TCC													AGG		
Ţ	T	Y	К	R	N	L	ΙC	G	K	Α	T	L	Т	A	V	T	s	A>	
							250 260												
230			240										270			280 CG GTC TAT TAC			
															A		ATA		
S	1	A	Y	М	В	ь	a	Э.	ь	T	٥	Е	D	S	М	V	Y	Y>	
2	290			300			31	.0		3	20				340				
TGT	ACA	AGA	GAG	GGC	TAT	GGT	AAC	TAC	GGG			TTT	GCT	TAC	TGG	GGC	CAG	GGG	
																	GTC		
С	т	R	E	G	Y	G	Ņ	Y	G	Α	W_{i}	F	A	Y	W	G	Q	G>	
	3	350			360														
ACT	CTG	GTC	ACC	GTC	TCC	TCA													
TGA	GAC	CAG	TGG	CAG	AGG	AGT													
T	L	v	T	v	s	S>													

Figura 4: Eliminación del sitio de glicosilación y de la lisina reactiva

Estrategia de la PCR para mutar la CDR-H2 en el vector cH

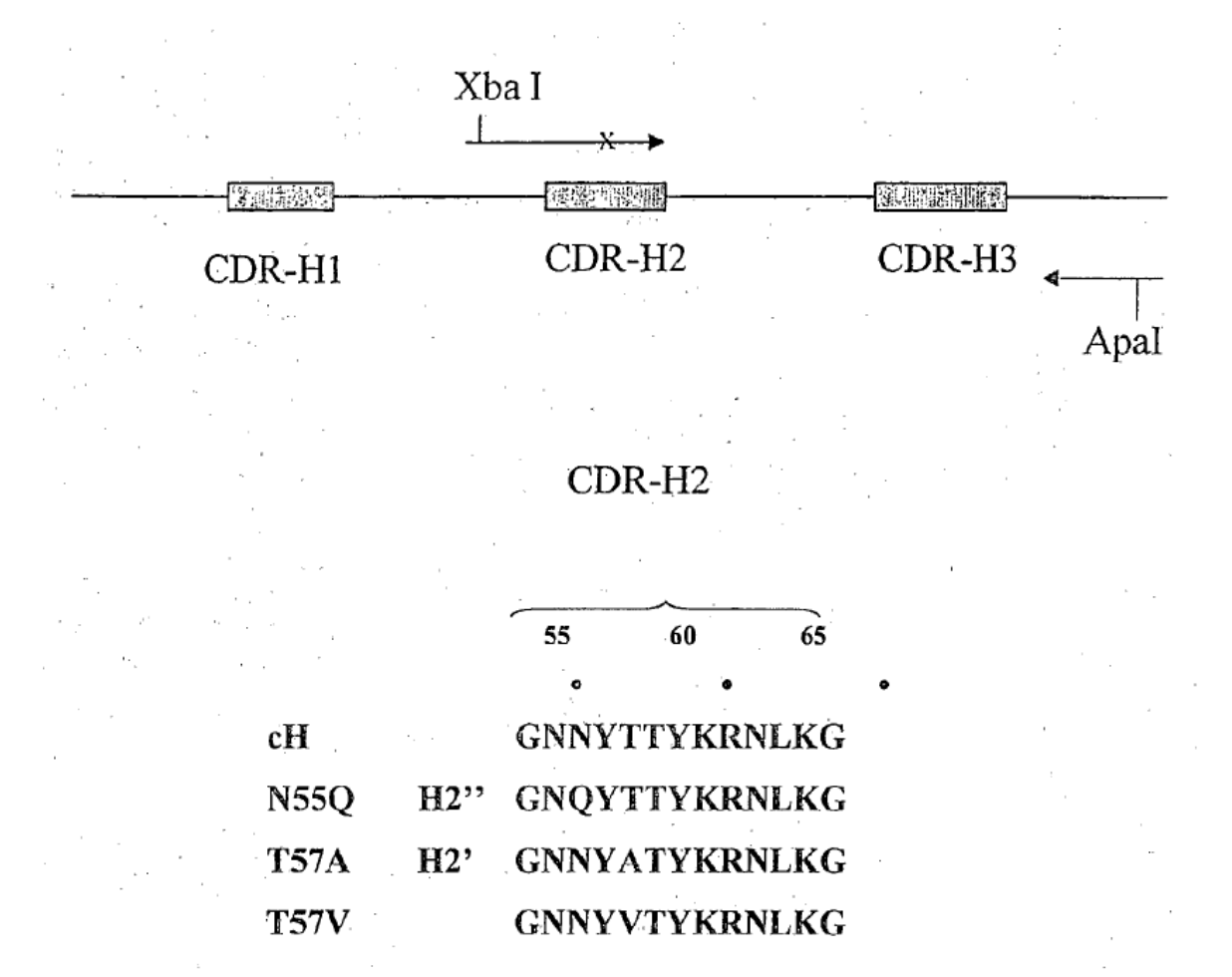
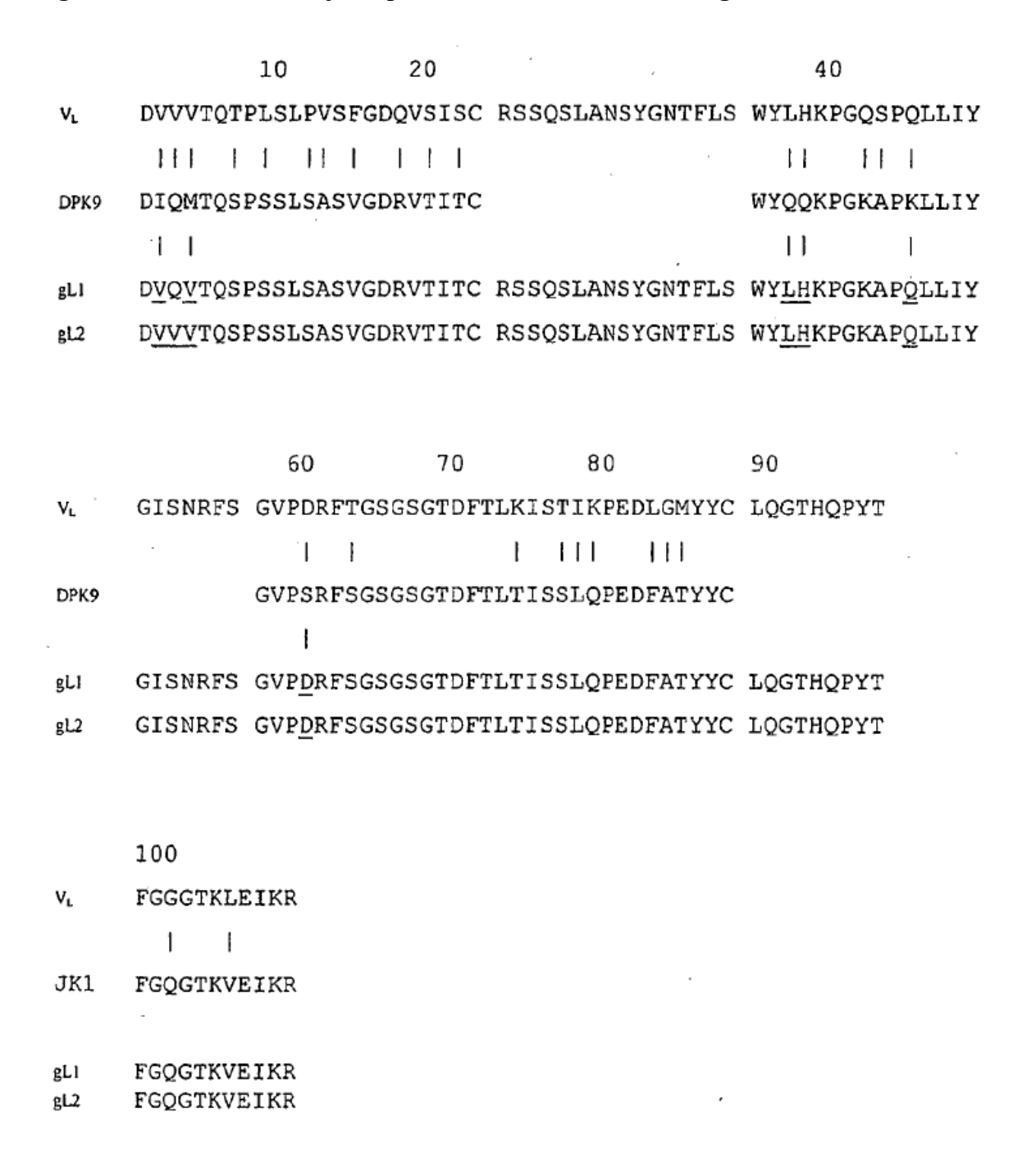


Figura 5: Diseño de injerto para la secuencia de cadena ligera 5/44



DPK-9 es la secuencia marco de la línea germinal del aceptor humano.

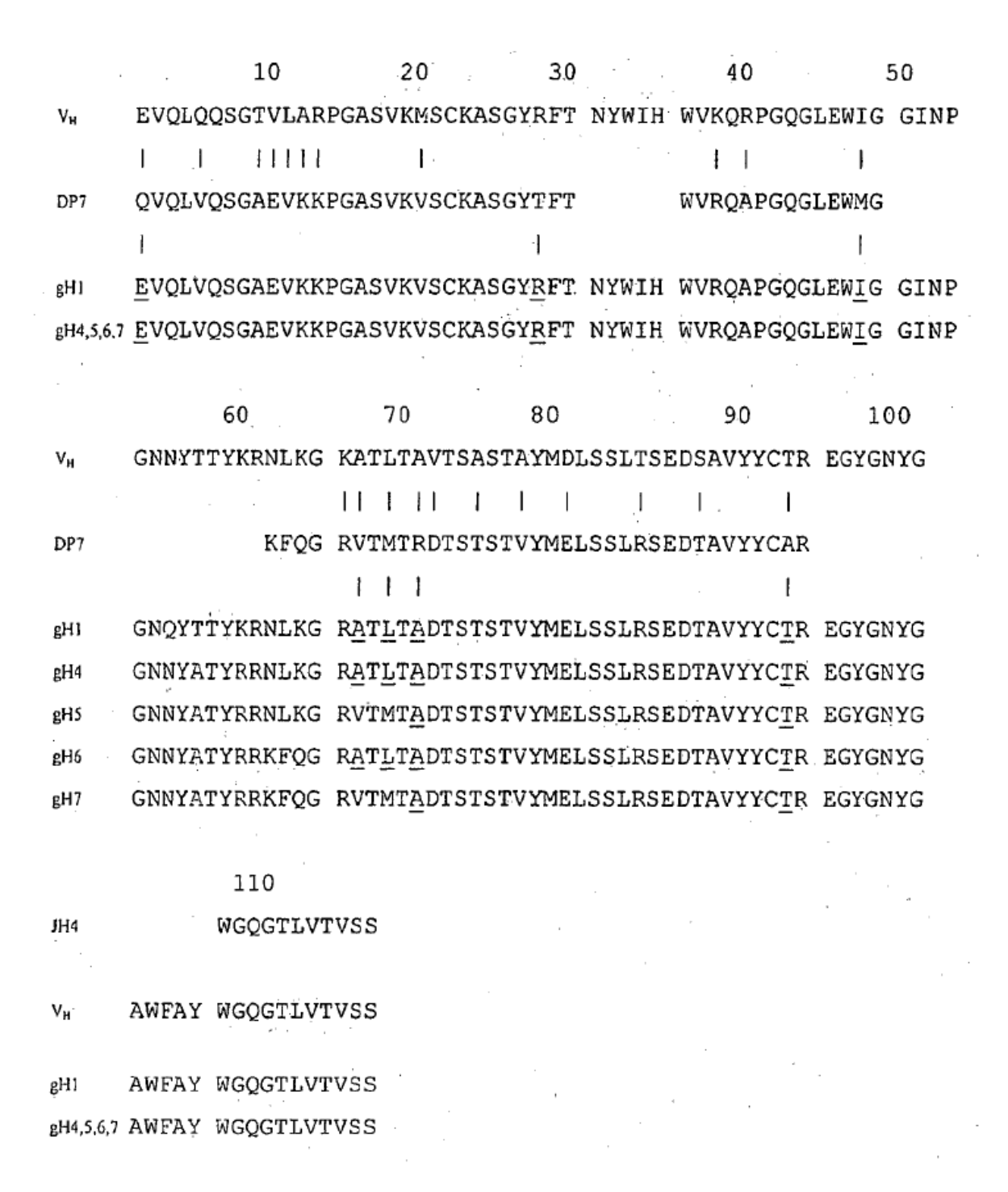
Las líneas verticales indican diferencias entre los residuos de ratón y humanos.

Las secuencias subrayadas indican residuos del donante que han sido retenidos en el injerto.

Las CDR se indican en azul (no se muestran para DPK-9).

El injerto gL1 tiene 6 residuos marco del donante, el gL2 tiene 7.

Figura 6: Diseño de injerto para la secuencia de cadena pesada 5/44



DPK-7 es la secuencia marco de la línea germinal del aceptor humano.

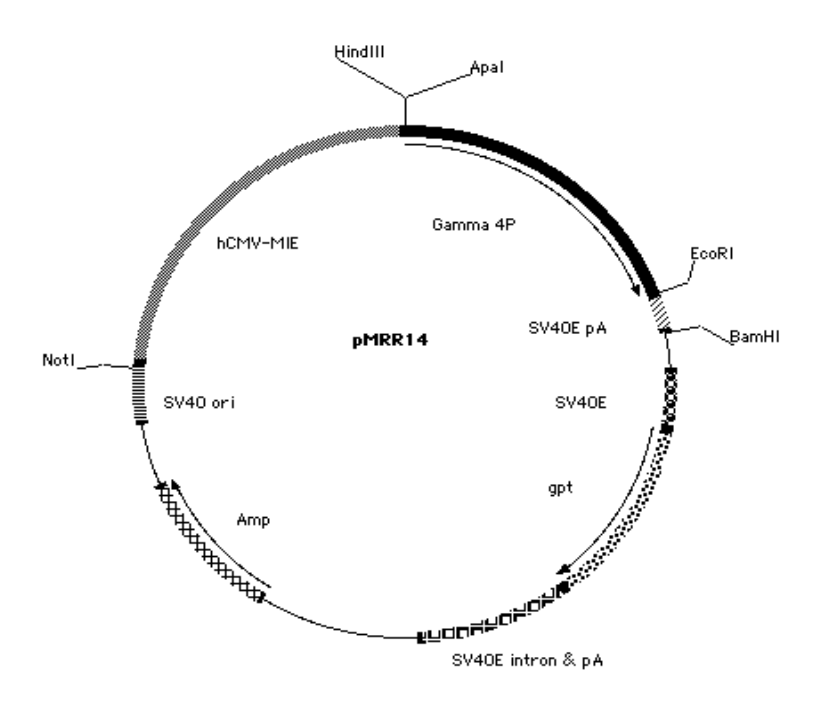
Las líneas verticales indican diferencias entre los residuos de ratón y humanos.

Las secuencias subrayadas indican residuos del donante que han sido retenidos en el injerto.

Las CDR se indican en azul (no se muestran para DP7).

Los injertos gH4 y gH16 tienen 6 residuos marco del donante. Los injertos gH5 y gH7 tienen 4.

Figura 7: Mapas de pMRR14 y pMRR10.1



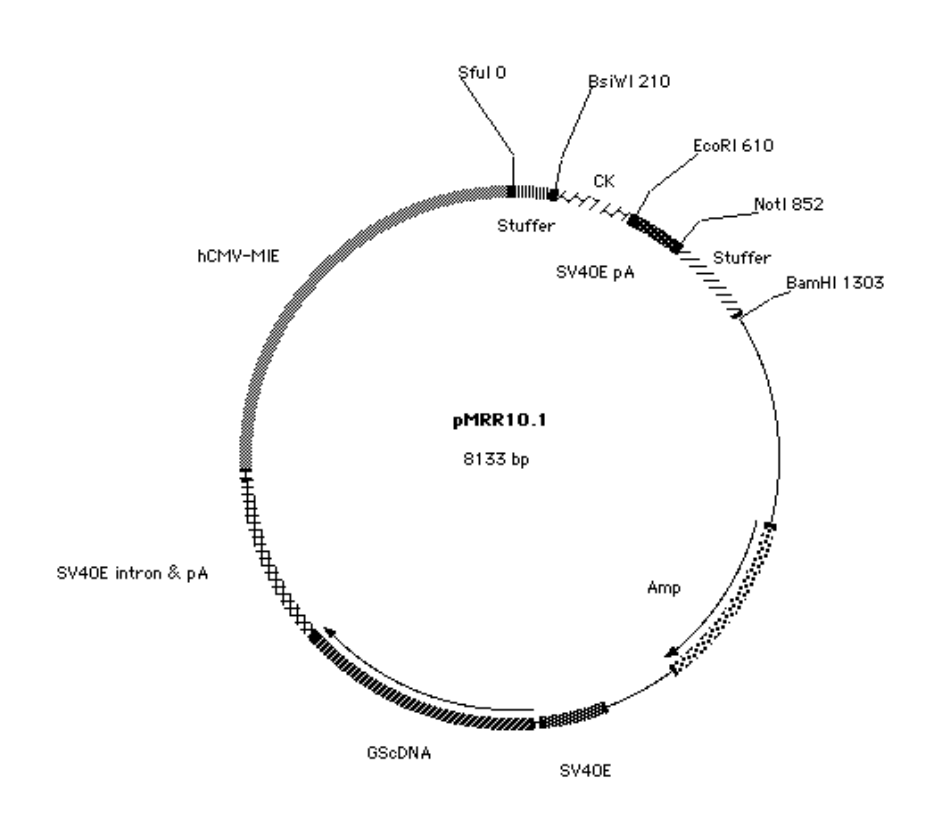


Figura 8: Ensayo Biacore de 5/44 quimérico y mutantes

5/44	Ka e ⁵	Kd e ⁻⁴	KD e ⁻¹⁰	~KD nM
cLcH	2.9	1.14	3.93	0.4
N55Q	5.81	1.9	3.27	0.3
T57A	7.8	0.51	0.66	0.07
K60R	4.95	1.01	2.04	0.2

Figura 9: Oligonucleótidos para el ensamblaje de los genes 5/44 gH1 and gL1

Cadena pesada

544gH1 T1

AGTGTGAGGTGCAATTGGTCCAGTCAGGAGCAGAGGTTAAGAAGCCTGGTGCTTCCGTCA AAGTTTCGTGTAAGGCTAGCGGCTACAGGTTCAC

544gH1 T2

GTGGCATTAATCCCGGGAATCAGTACACTACATATAAAAGAAATCTAAAGGGCAGAGCA ACGCTGACCGCGGACACCTCCACAAGCACTGTCTACA

544gH1 T3

AGAGAAGGCTACGGTAATTACGGAGCCTGGTTCGCCTACTGGGGCCAGGGTACCCTAGTC
ACAGTCTCCTCAGCTTCTACAAAGGGCCCAAGAAA

544 gH1 B1

GGACCAATTGCACCTCACACTGCACTCCCTTGAGAATGAGTGCCAGGAACACGAGAGAG AATCCGAAGTCCATGGTGGCGGCAAGCTTTTATTC

544 gH1 B2

544gH1 B3

CGTAATTACCGTAGCCTTCTCTAGTACAATAGTACACTGCGGTGTCCTCGGATCTCAGAG ATGACAGCTCCATGTAGACAGTGCTTGTGGAGG

544gH1 F1

GAATAAAAGCTTGCCGCCACC

544gH1 R1

TTTCTTGGGCCCTTTGTAGAAG

Figura 9 cont.

Cadena ligera

544 gL1 T1

GCTTCCCGGGGTGACGTTCAAGTGACCCAGAGCCCATCCAGCCTGAGCGCATCTGTAGGA GACCGGGTCACCATCACTTGTAGATCC

544 gL1 T2

TATCTGCACAAACCAGGTAAAGCCCCACAATTGCTCATCTACGGAATCTCTAACAGATTT
AGTGGTGTACCAGACAGGTTCAGCGGTTCC

544gL1 T3

AGATTTCGCCACTTATTACTGTTTACAAGGTACACATCAGCCGTACACATTCGGTCAGGG
TACTAAAGTAGAAATCAAACGTACGGCGTGC

544gL1 B1

GAACGTCACCCGGGAAGCAGGAATCCAGAACAACAGAAGCACCAACAGCCTAACAGG CAACTTCATGGTGGCGGCTTCGAATCATCC

544gL1 B2

CTTTACCTGGTTTGTGCAGATACCAAGACAAAAAGGTGTTCCCATAACTGTTTGCAAGAC TCTGACTGGATCTACAAGTGATGGTGAC

544gL1 B3

AACAGTAATAAGTGGCGAAATCTTCTGGCTGGAGAGACGAGATCGTGAGGGTGAAATCA GTACCACTTCCGGAACCGCTGAACCTGTCTG

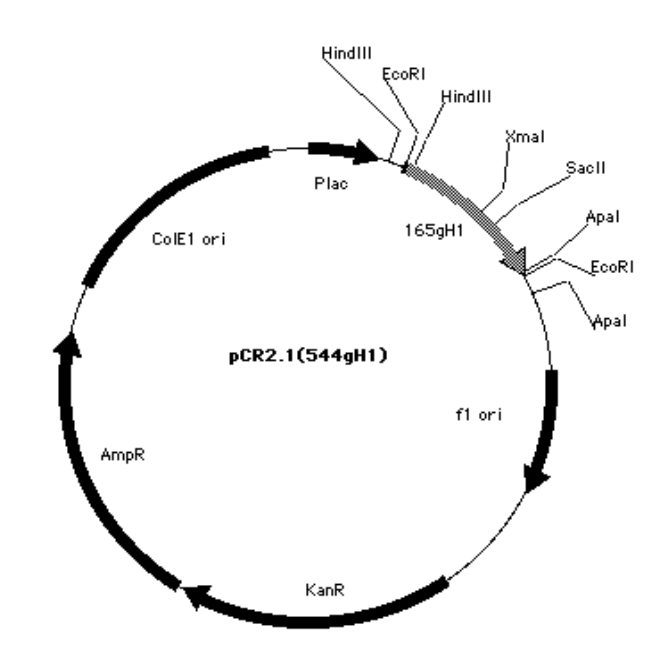
544gL1 F1

GGATGATTCGAAGCCGCCAC

544gL1 R1

GCACGCCGTACGTTTGATTTC

Figura 10: Mapas plasmídicos de los vectores intermedios pCR2.1 (544gH1) y pCR2.1(544gL1)



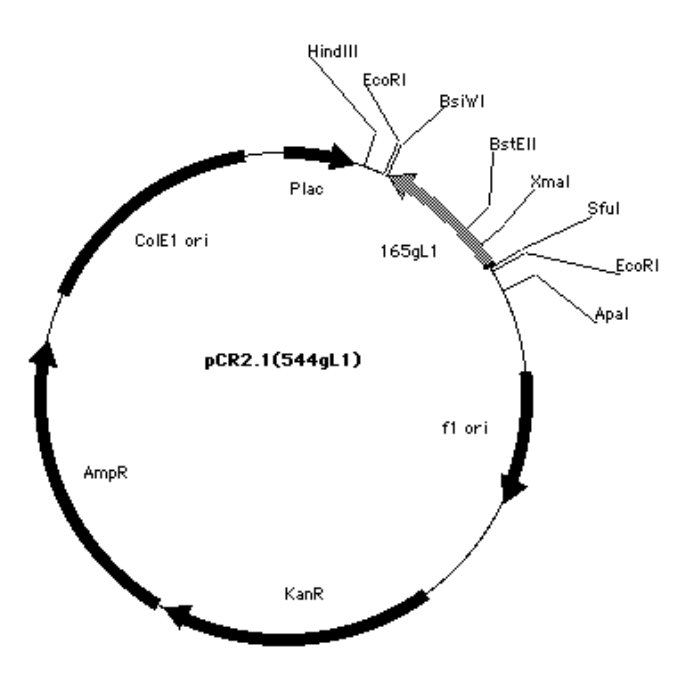
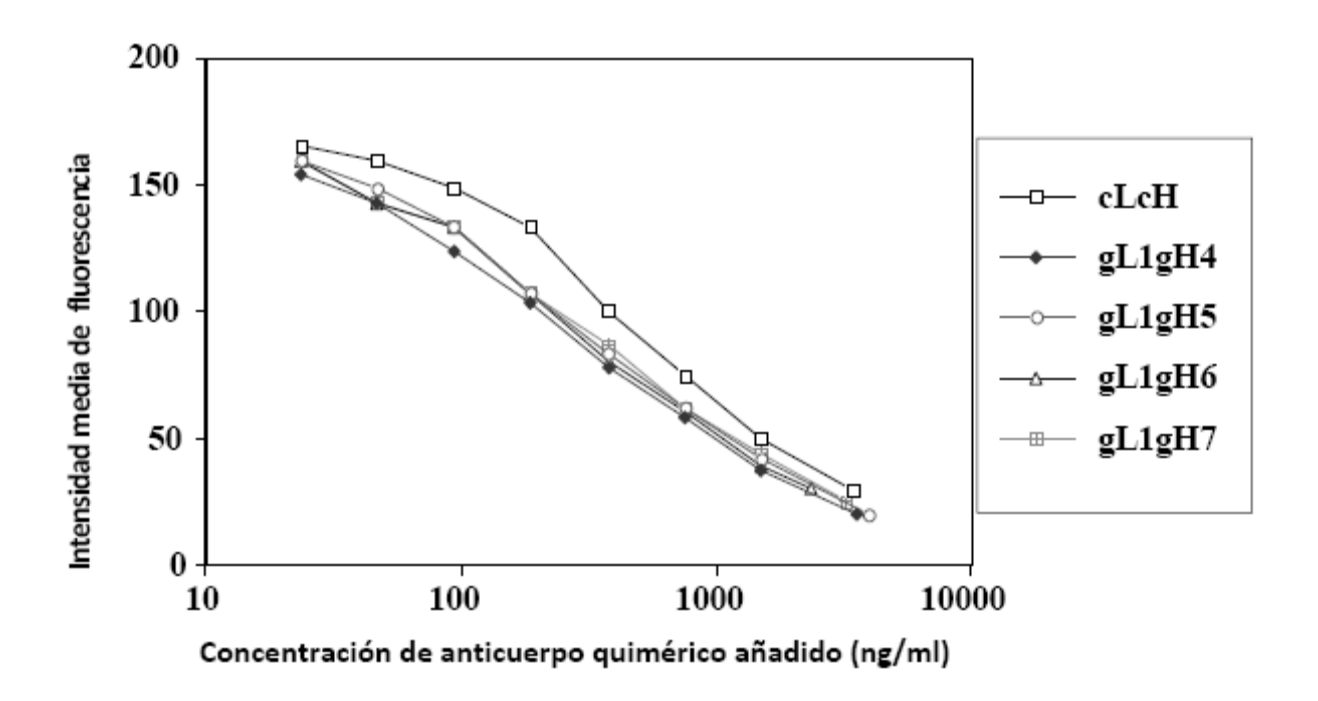


Figura 11: Casetes de oligonucleótidos utilizadas para preparar injertos adicionales

gH4 10 20 30 40 CC GGG AAT AAC TAC GCT ACA TAT AGG AGA AAT CTA AAG GGC AGA GCA ACG CTG ACC GC C TTA TTG ATG CGA TGT ATA TCC TCT TTA GAT TTC CCG TCT CGT TGC GAC TGG F G N N Y A T Y R R N L K G R A T L T A gH5 CC GGG AAT AAC TAC GCT ACA TAT AGG AGA AAT CTA AAG GGC AGA GTT ACG ATG ACC GC C TTA TTG ATG CGA TGT ATA TCC TCT TTA GAT TTC CCG TCT CAA TGC TAC TGG PGNNYATYRRKFQGRVTMTA gH6 10 20 XmaI 30 40 CC GGG AAT AAC TAC GCT ACA TAT AGG AGA AAA TTC CAG GGC AGA GCA ACG CTG ACC GC C TTA TTG ATG CGA TGT ATA TCC TCT TTT AAG GTC CCG TCT CGT TGC GAC TGG PGNNYATYRRKFQGRATLTA gH7 20 30 40 CC GGG AAT AAC TAC GCT ACA TAT AGG AGA AAA TTC CAG GGC AGA GTT ACG ATG ACC GC C TTA TTG ATG CGA TGT ATA TCC TCT TTT AAG GTC CCG TCT CAA TGC TAC TGG PGNNYATYRRKFQGRVTMTA gL220 30 XmaI 10 40 50 C CGG GGT GAC GTT GTC GTG ACC CAG AGC CCA TCC AGC CTG AGC GCA TCT GTA GGA GAC CGG CCA CTG CAA CAG CAC TGG GTC TCG GGT AGG TCG GAC TCG CGT AGA CAT CCT CTG GCC CAG TG S R G D V V T Q S P S S L S A S V G D R V T

Figura 12: Ensayo de competición, entre la unión del anticuerpo de ratón 5/44 marcado fluorescentemente y la de las variantes injertadas.



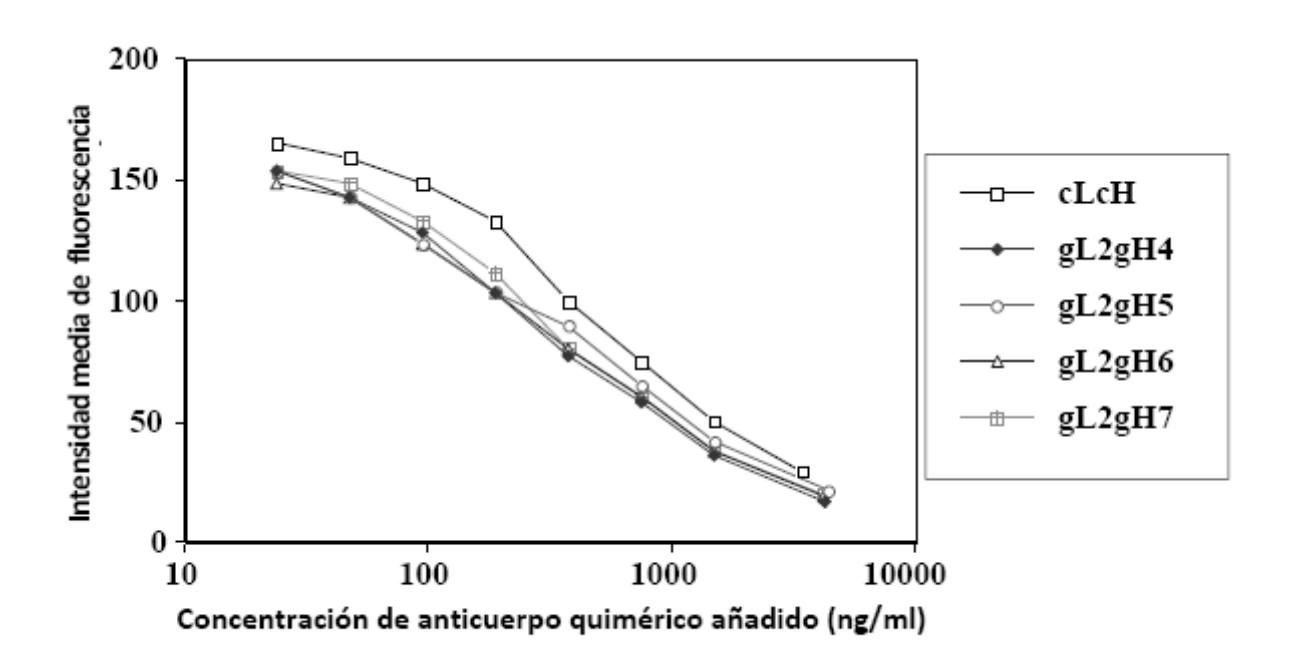


Figura 13: Secuencia completa de ADN de cadenas pesadas y ligeras injertadas

a) Cadena pesada

10 20 30 50 AAGCTTGCCG CCACC ATG GAC TTC GGA TTC TCT CTC GTG TTC CTG GCA CTC ATT CTC AAG TTCGAACGCC GGTGG TAC CTG AAG CCT AAG AGA GAG CAC AAG GAC CGT GAG TAA GAG TTC F ٧ 70 80 90 100 110 GGA GTG CAG TGT GAG GTG CAA TTG GTC CAG TCA GGA GCA GAG GTT AAG AAG CCT GGT CCT CAC GTC ACA CTC CAC GTT AAC. CAG GTC AGT CCT CGT CTC CAA TTC TTC GGA CCA 0 0 s 120 130 140 150 160 170 GCT TCC GTC AAA GTT TCG TGT AAG GCT AGC GGC TAC AGG TTC ACA AAT TAT TGG ATT CGA AGG CAG TTT CAA AGC ACA TTC CGA TCG CCG ATG TCC AAG TGT TTA ATA ACC TAA C K Α S G 230 180 190 200 210 220 CAT TGG GTC AGG CAG GCT CCG GGA CAA GGC CTG GAA TGG ATC GGT GGC ATT AAT CCC GTA ACC CAG TCC GTC CGA GGC CCT GTT CCG GAC CTT ACC TAG CCA CCG TAA TTA GGG 270 240 250 260 280 GGG AAT AAC TAC GCT ACA TAT AGG AGA AAA TTC CAG GGC AGA GTT ACG ATG ACC GCG CCC TTA TTG ATG CGA TGT ATA TCC TCT TTT AAG GTC CCG TCT CAA TGC TAC TGG CGC R R К G 300 310 320 330 340 GAC ACC TCC ACA AGC ACT GTC TAC ATG GAG CTG TCA TCT CTG AGA TCC GAG GAC ACC CTG TGG AGG TGT TCG TGA CAG ATG TAC CTC GAC AGT AGA GAC TCT AGG CTC CTG TGG Т V Y M Ε L S S L 360 370 380 390 400 GCA GTG TAC TAT TGT ACT AGA GAA GGC TAC GGT AAT TAC GGA GCC TGG TTC GCC TAC CGT CAC ATG ATA ACA TGA TCT CTT CCG ATG CCA TTA ATG CCT CGG ACC AAG CGG ATG Ģ Υ Ģ 410 420 430 440 450 TGG GGC CAG GGT ACC CTA GTC ACA GTC TCC TCA GCT TCT ACA AAG GGC CCA TCC GTC ACC CCG GTC CCA TGG GAT CAG TGT CAG AGG AGT CGA AGA TGT TTC CCG GGT AGG CAG Α 470 480 490 500 510 TTC CCC CTG GCG CCC TGC TCC AGG AGC ACC TCC GAG AGC ACA GCC GCC CTG GGC TGC AAG GGG GAC CGC GGG ACG AGG TCC TCG TGG AGG CTC TCG TGT CGG CGG GAC CCG ACG

\$

•	COII	l•																		
	5	20		- !	530			540			5	50			560			570		
	CTG	GTC	AAG	GAC	TAC	TTC	ccc	GAA	CCG	GTG	ACG	GTG	TCG	TGG	AAC	TCA	GGC	GCC	CTG	
	GAC	CAG	TTC	CTG	ATG	AAG	GGG	CTT	GGC	CAC	TGC	CAC	ÁGC	ACC	TTG	AGT	CCG	CGG	GAC	
	L	·v	K	D'	Y	F	P	Ē	₽	v	т	ν	s	W	Ŋ	s	G	A	L>	
			٠.									•								
		58	80		5	590			600			6	10			620			630	
	ACC	AGC	GGC	GTG	CAC	ACC	TTC	CCG	GCT	GTC	CTA	CAG	TCC	TCA	GGA	CTC	TAC	TCC	CTC	
	TGG	TCG	CCG	CAC	GTG	TGG	AAG	GGC	CGA	CAG	GAT	GTC	AGG	AGT	CCT	GAG	ATG	AGG	GAG	
	T	s	G	v	Н	T	F.	P	A	٧	L	Q	s	s	G	L	Y	s	L>	
			64	40		. (650			660			6	70		(680			
	AGC	AGC	GTG	GTG	ACC	GTG	CCC	TCC	AGC	ÄGC	TTG	GGC	ACG	AAG	ACC	TAC	ACC	TGC	AAC	
	TCG	TCG	CAC	CAC	TGG	CAC	GGG	AGG	TCG	TCG	AAC	CCG	TGC	TTC	TGG	ATG	TGG	. ACG	TTG	
	S	S	V	v	T	v	·P	s	S	S	L	G	T	K	T	Y	Ť	С	N>	
				٠.																
	690			70	00		7	10			720			7	30		74	0		
	GTA	GAT	CAC	AAG	CCC	AGC	AAC	ACC	AAG	GTG	GAC	AAG	AGA	GTT	G G	FGAGA	AGGC	С		
	CAT	CTA	GTG	TTC	GGG	TCG	TTG	TGG	TTC	CAC	CTG	TTC	TCT	CAA	C C	ACTC!	rccg	G		
	v	D	н	к	P	S	N	T	K	V	D	Ж	R	٧>						
		,																		
		7	50		76	0		770			780		7	790		80	00		810	1
	AGC	CAGO	GA 0	GGAG	GGTG	T C	GCTG	GAAG	CCF	GGC:	rcag	CCCI	CCT	SCC	TGGA	CGCAC	ccic	CGGC1	GTGC	
	TCGT	GTCC	CT (CCTC	CCYC	A GA	ACGAC	CTTC	GGT	'CCG!	AGTC	GGGI	AGGAC	CGG :	ACCT(CGT	GG G	GCCGF	CACG	
		,																		
			320		83	-		840			850			360		87			880	
															GGCC1					
	TCGG	GGTC	GG G	STCCC	GTCG	T TO	CCGTA	CGGG	GTA	GAC	AGAG	GAGT	rGGGC	CT	CCGG	1GAC	rg g	reese	TGAG	
			90		90	-		910			920			30		-	10		950	
															ACAGO				-	
	IACG	WG11	1	CICC	CAGA	и си	icc14	HAAA	661	661	LGM	GGCC	.CG1C	.66	rgrcc	CHCC	T A		HI GG	
		0	60		97	٥		980			990		. 10	000		101	.0		1020	
	CCAG			COAT	-		CAGG			CTC		CTGC			CCATA					
						- ,									GGTAT					
	0010			,00111		0 00		,,,,,,,,,,,,,,,,,,,,,,,,,,,,,,,,,,,,,,,	-	01101		01100				,,,,,,			00110	
		10	30		104	0		1050		1	.060		10	70		108	10		1090	
	cccc			AGCC									-		AGACA					
						4									CTGT					
									_ 0/1			- 500								
		11	00		111	0		1120			11	30			1140	,		115	0	
	GATC	TGAG	TA A	CTCC	CAAT	C TT				AG T			AT G	GT (cc c		GC C			
	CTAG	ACTO	AT T	GAGG	GTTA	g aa	GAGA	GACG	тс	TC A	GG T	TT A	TA C	CA C	GG G	GT A	CG 6	GT G	GT	
										E	S	к.	v	G	P	P	C	p	P>	

1160 1170 1180 1190 1200 1210 1220 TGC CCA GGT AAGCCAACCC AGGCCTCGCC CTCCAGCTCA AGGCGGGACA GGTGCCCTAG AGTAGCCTGC ACG GGT CCA TTCGGTTGGG TCCGGAGCGG GAGGTCGAGT TCCGCCCTGT CCACGGGATC TCATCGGACG P> 1230 1240 1250 1260 1270 1280 ATCCAGGGAC AGGCCCCAGC CGGGTGCTGA CGCATCCACC TCCATCTCTT CCTCA GCA CCT GAG TTC TAGGTCCCTG TCCGGGGTCG GCCCACGACT GCGTAGGTGG AGGTAGAGAA GGAGT CGT GGA CTC AAG 1290 1300 1310 1320 1330 1340 CTG GGG GGA CCA TCA GTC TTC CTG TTC CCC CCA AAA CCC AAG GAC ACT CTC ATG ATC GAC CCC CCT GGT AGT CAG AAG GAC AAG GGG GGT TTT GGG TTC CTG TGA GAG TAC TAG G G PSVFL F PPKPKD T L M I> 1350 1360 1370 1380 1390 1400 TCC CGG ACC CCT GAG GTC ACG TGC GTG GTG GTG GAC GTG AGC CAG GAA GAC CCC GAG AGG GCC TGG GGA CTC CAG TGC ACG CAC CAC CTG CAC TCG GTC CTT CTG GGG CTC E V TCVVVDV S D P E> Q E 1410 1420 1430 1440 1450 GTC CAG TTC AAC TGG TAC GTG GAT GGC GTG GAG GTG CAT AAT GCC AAG ACA AAG CCG CAG GTC AAG TTG ACC ATG CAC CTA CCG CAC CTC CAC GTA TTA CGG TTC TGT TTC GGC g v E н 1460 1470 1480 1490 1500 CGG GAG GAG CAG TTC AAC AGC ACG TAC CGT GTG GTC AGC GTC CTC ACC GTC CTG CAC GCC CTC CTC GTC AAG TTG TCG TGC ATG GCA CAC CAG TCG CAG GAG TGG CAG GAC GTG REEQFNSTYRV v s v L T V L 1520 1530 1540 1550 1560 1570 CAG GAC TGG CTG AAC GGC AAG GAG TAC AAG TGC AAG GTC TCC AAC AAA GGC CTC CCG GTC CTG ACC GAC TTG CCG TTC CTC ATG TTC ACG TTC CAG AGG TTG TTT CCG GAG GGC KEYKC WLNG К S N 1600 1610 TCC TCC ATC GAG AAA ACC ATC TCC AAA GCC AAA GGTGG GACCCACGGG GTGCGAGGGC AGG AGG TAG CTC TTT TGG TAG AGG TTT CGG TTT CCACC CTGGGTGCCC CACGCTCCCG T I S · K A 1640 1650 1660 1670 1680 1690 1700 CACATGGACA GAGGTCAGCT CGGCCCACCC TCTGCCCTGG GAGTGACCGC TGTGCCAACC TCTGTCCCTA GTGTACCTGT CTCCAGTCGA GCCGGGTGGG AGACGGGACC CTCACTGGCG ACACGGTTGG AGACAGGGAT

	1710							1720 1730						1740				1750			
	CA	GGG	CAG	ccc	CGA	GAG	CCA	CAG	GTG	TAC	ACC	CTG	ccc	CCA	TCC	CAG	GAG	GAG	ATG		
,	GT	cċc	GTC	GGG	GCT	стс	GGT	GTC	CAC	ATG	TGG	GAC	GGG	GGT	AGG	GTC	CTC	CTC	TAC		
		G	Q	P	R	E	P.	Q	V	Y	T	L	P	P	s	Q	Ε	E	M>		
																:		,			
	17	60		1	770			1780			17	90		2	.800			1810)		
	ACC	AAG	AAC	CAG	GTC	AGC	CTG	ACC	TGC	CTG	GTC	AAA	GGC	TTC	TAC	ccc	AGC	GAC	ATC		
	TGG	TTC	TTG	GTC	CAG	TCG	GAC	TGG	ACG	GAC	CAG	TTT	CCG	AAG	ATG	GGG	TCG	CTG	TAG		
	T	K	N	Q	v	S	L	T	C	L	v	K	G	F	Ý	P	5	D	I>		
										· .											
	1820 1830								1840				50		1860 1870						
															: AAG						
-							-								TTC						
	Α	V	Е	M	Ε	s	N	G	Ω	P	Ε.	N	И	Y	K	T	T.	₽	P>		
			10	80		,	890			1900			19	10		1920					
	GTG	, CTG			GAC	_		ጥጥሮ		-		acc.			ACC	,		AAG	MCC		
															TGG						
	V	L	D	s	D	G	s	F	F	L	Ý	s	R	L	T	v	D	к	s>		
															_						
	1930			. 19	40		. 1	950			1960	1970				1980					
	AGG	TGG	CAG	GAG	GGG	AAT	GTC	TTC	TCA	TGC	TCC	GTG	ATG	CAT	GAG	GCT	CTG	CAC	AAC		
,	TCC	ACC	GTC	CTC	ccc	ATT	CAG	AAG	AGT	ACG	AGG	CAC	TAC	GTA	CTC	CGA	GAC	GTG	TTG		
	R	M.	Q	E	G	N	V	F	S	C	S	v	М	н	Ε	A	L	Н	N>		
		1990			20	3 -			010	,		2020			203			2040			
	-														GTG						
										-					CAC	G GT	CCCG	GCCG			
	Н	Υ.	T	Q	К	S	L	s	L	S.	L	G	K	.*>							
	-	2/	250		20	-		202					2	000		01/			2110		
	BAGO																		2110		
																			AAGGG		
		,000	,	1000	0000	JA G	1000	Jono	, 900	3016	JING	Gran.	00011	Jun .	2000	1076		ini e	·		
		21	120		21:	30		2140)		2150		2:	160							
	AGGC			CATG									CGAA								
													GCTT								

b) Cadena ligera

